

บทนำ

ในปัจจุบันปริมาณประชากรของประเทศไทยเพิ่มขึ้นอย่างรวดเร็ว มีการกระจายตัวไปทั่วทุกพื้นที่ของประเทศไทย เดิมเฉพาะทางด้านเกษตรกรรมซึ่งเป็นอาชีพสำคัญที่สร้างผลิตผลเพื่อตอบสนองความต้องการทั้งในและต่างประเทศ เนื่องจากการเจริญเติบโตทางเกษตรกรรมเพิ่มมาขึ้น ทำให้ปัญหาของความต้องการน้ำ และการบริหารจัดการน้ำที่ความรุนแรงมากขึ้นตามลำดับ การบริการจัดการน้ำที่มีประสิทธิภาพจะเป็นการป้องกันความเสียหายที่มาจากการขาดน้ำหรือน้ำมากเกินไป อีกทั้งจะเป็นการช่วยลดปัญหาความขาดแคลนที่เกิดขึ้นในปัจจุบันและที่กำลังจะเกิดขึ้นในอนาคตได้

ปัญหาสำคัญของการบริหารจัดการน้ำในประเทศไทยคือ ขาดข้อมูลปริมาณน้ำที่มีประสิทธิภาพและทันต่อเหตุการณ์ การตรวจวัดอัตราการไหลของน้ำในคลองชลประทาน ซึ่งการตรวจวัดอัตราการไหลจะเป็นพื้นฐานของการบริหารจัดการน้ำ เป็นตัวบ่งบอกถึงปริมาณน้ำที่มีและความต้องการน้ำของแต่ละพื้นที่ การตรวจวัดปริมาณการไหลในจุดต่างๆจะช่วยเพิ่มประสิทธิภาพการบริหารจัดการน้ำ และจัดสรรปริมาณน้ำได้อย่างถูกต้อง การตรวจวัดน้ำของกรมชลประทานตามคลองชลประทานต่างๆทั่วประเทศยังมีประสิทธิภาพไม่เพียงพอและไม่ทันต่อเหตุการณ์ที่จะสามารถนำมาใช้ลักษณะสถานการณ์ปริมาณน้ำได้ กรมชลประทานมีการนำเครื่องมือตรวจวัดระดับน้ำอัตโนมัติมาใช้เพื่อจะช่วยในการเก็บข้อมูลเป็นประจำอย่างมีประสิทธิภาพ เนื่องจากเครื่องมือที่ตั้งน้ำเข้ามายังต่างประเทศมีราคาสูงและจำเป็นจะต้องมีผู้เชี่ยวชาญควบคุมดูแลระบบ ทำให้ต้องใช้เงินทุนมหาศาล ระบบอัตโนมัติจึงไม่ได้รับความนิยมมากนัก และยังมีปัญหาความไม่ถูกต้องของระดับน้ำเนื่องจากการเปิดปิดบานประตูระบายน้ำซึ่งจะอิบายในการวัดน้ำต่อไป

การตรวจวัดปริมาณน้ำในแหล่งน้ำธรรมชาติมีบทบาทความสำคัญมากต่อการบริหารจัดการน้ำ ซึ่งส่งผลกระทบต่อความมั่นคงและรากฐานทางสังคมและเศรษฐกิจของประเทศไทย การตรวจวัดปริมาณน้ำที่มีประสิทธิภาพและถูกต้องจะช่วยให้การบริหารจัดการน้ำมีประสิทธิภาพและช่วยป้องกันหรือทุเลาความรุนแรงของภัยพิบัติทางน้ำที่จะเกิดขึ้นได้

วิธีการตรวจวัดปริมาณน้ำในปัจจุบันมีมากน้อยหลายวิธี แต่ละวิธีมีข้อดีและข้อด้อยแตกต่างกันออกไป ประสิทธิภาพและความง่ายในการใช้งานจะแปรผันตามราคากลางเครื่องมือ โดยทั่วไปราคาเครื่องมือวัดปริมาณน้ำที่มีขายในตลาดมีราคาสูงมาก เพราะต้องนำเข้ามาจากต่างประเทศ การพัฒนาเครื่องมือวัดที่มีราคาถูกและมีประสิทธิภาพจะส่งผลให้การตรวจวัดปริมาณน้ำได้อย่างมีประสิทธิภาพมากขึ้น

การตรวจวัดปริมาณน้ำในคลองชลประทานสามารถทำได้หลายวิธี เช่น 1. การวัดความลึกของระดับน้ำที่หน้าตัดได้ แล้วนำความลึกของน้ำมาหารเป็นหน่วยตัดของคลอง จากนั้นนำความลึกและพื้นที่หน้าตัดมาเข้า สมการการไหลเพื่อคำนวณเป็นอัตราการไหล 2. การวัดระดับน้ำที่ก่อนและหลังบานประตูระบายน้ำแล้วนำมาปรับเทียบเป็นค่าปริมาณการไหล จากการอัตราการไหลหรือที่เรียกว่า Rating Curve 3. การวัดอัตราการไหลจากระดับน้ำที่เหลือของฝายสันคลื่นที่มีการเทียบวัดค่าอัตราการไหลมาแล้ว จากนั้นนำระดับที่ได้มาเทียบวัด เป็นอัตราการไหล ในสถานการณ์จริงการคำนวณอัตราการไหลจากสมการการไหลโดยใช้ค่าระดับน้ำ(วิธีที่ 1.) จะมีจุดอ่อนที่สมการไม่ได้มีการครอบคลุมตัวแปรผันทางธรรมชาติและความแตกต่างทางพื้นที่มากน้อย จึงทำให้ค่าที่คำนวณได้มีความผิดพลาดสูง ดังนั้นสมการการไหลจะสามารถใช้ได้เมื่อมีการปรับแก้ตัวแปรผันทางธรรมชาติและมีการปรับแก้เพื่อให้เข้ากับสถานที่นั้นๆ ซึ่งในความเป็นจริงการที่จะควบคุมตัวแปรผันทางธรรมชาติสามารถทำได้ยาก และการปรับแก้สมการเพื่อให้เข้ากับสภาพแวดล้อมและสถานที่จะต้องใช้

ผู้เชี่ยวชาญเฉพาะด้านทำการทดสอบและตรวจสอบ ซึ่งเป็นขั้นตอนที่สืบเปลือยเวลา แรงงาน และค่าใช้จ่ายมาก อีกทั้งจะต้องทำการตรวจสอบเป็นประจำเพื่อให้ได้ค่าที่แม่นยำ

ดังที่กล่าวในขั้นตอนว่าการคำนวณอัตราการไหลจากสมการที่ใช้ค่าความลึกมีความผิดสูง อีกสาเหตุหนึ่งที่ทำให้การคำนวณปริมาณการไหลของน้ำในคลองชลประทานผิดพลาดคือ ผลกระทบจาก Shot Channel Effect และ Back Water Effect ซึ่งเป็นปรากฏการณ์ที่ ระดับน้ำในคลองสูงขึ้นจากการปิดหรือลดระดับบนประตูท้ายน้ำแต่ปริมาณการไหลของน้ำลดลง เนื่องมาจากกระบวนการไหลในคลองมีขนาดความยาวไม่เพียงพอที่จะหลีกเลี่ยงผลกระทบนี้ ทำให้ไม่สามารถคำนวณปริมาณการไหลที่แท้จริงได้โดยใช้ความลึกของระดับน้ำ

การคำนวณอัตราการไหลจากระดับน้ำก่อนและหลังฝาย เป็นวิธีที่มีการใช้อย่างแพร่หลายตามจุดวัดน้ำต่างๆ วิธีนี้จะต้องมีการปรับเทียบค่าอัตราการไหลกับระดับการเปิดบนประตูระบายน้ำ ซึ่งจำเป็นจะต้องมีการเทียบวัดกับค่าอัตราการไหลที่แท้จริงเป็นประจำทุกๆ 5-7 ปีเพื่อให้ได้ค่าที่แน่นอน ค่าที่ได้จะมีจำนวนน้อย เพราะสถานีวัดน้ำและประตูน้ำมีจำนวนน้อยเมื่อเทียบกับจำนวนคลองชลประทานที่มีอยู่ ทำให้ข้อมูลไม่เพียงพอในการวิเคราะห์การจัดการและสรุนได้ในพื้นที่นั้นๆ

ความจำเป็นในการใช้เครื่องมือวัดความเร็วของกระแสน้ำจึงเข้ามามีบทบาทต่อการคำนวณปริมาณการไหล การคำนวณอัตราการไหลจะสามารถทำได้โดยนำพื้นที่หน้าตัดการไหลคูณกับความเร็วการไหล วิธีนี้จะช่วยเพิ่มประสิทธิภาพและความแม่นยำของการคำนวณอัตราการไหล และยังแก้ไขปัญหาจากปรากฏการณ์ Shot Channel Effect และ Back Water Effect ได้ โดยเมื่อระดับน้ำเพิ่มขึ้นเนื่องจากการลดระดับบนประตู อัตราการไหลจะลดลงส่งผลให้ความเร็วของการไหลลดลงตามลงมา ฉะนั้นถึงแม้ว่าพื้นที่การไหลเพิ่มขึ้นแต่ถ้าสามารถบอกรความเร็วของกระแสน้ำที่ลดลง ก็จะสามารถคำนวณปริมาณการไหลที่แท้จริงได้

การวัดน้ำที่มีใช้ในประเทศไทยมีหลากหลายวิธี โดยส่วนมากจะเป็นการวัดความลึกเพื่อนำไปคำนวณหาอัตราการไหลจาก Rating Curve การวัดความลึกจะสามารถกระทำได้หลายวิธีแต่วิธีจะมีข้อดีและข้อเสียแตกต่างกันแสดงข้างล่าง

ตารางที่ 1.1 การเปรียบเทียบข้อดีและข้อเสียของวิธีการวัดระดับน้ำ

วิธีการวัดระดับน้ำ	ข้อดี	ข้อจำกัด
ลูกloy	1.ได้ผลที่แน่นอนแม่นยำ 2.สามารถหาระดับได้ง่าย 3.สามารถต่อ กับระบบส่ง ข้อมูลได้โดยตรง	1.ต้องมีบ่อพักน้ำนิ่ง 2.มีขนาดใหญ่และขั้นตอนติดตั้ง ยุ่งยาก
หัววัดแรงดัน Pressure Transducer	1.การติดตั้งง่าย 2.สามารถต่อ กับระบบส่ง ข้อมูลได้โดยตรง	1. ราคาสูง (นำเข้าจาก ต่างประเทศ) 2.มีอุปสรรคมาก เพราะต้องอยู่ใต้น้ำตลอด
ไม้วัดระดับ Staff Gauge	1.ราคากู๊ด 2.มีความทนทานสูง	1.ไม่สามารถต่อ กับระบบส่ง ข้อมูลได้ 2.ต้องใช้เวลาและแรงงานจำนวนมาก ทั้งการอ่านและบันทึกข้อมูล

		3. ไม่สามารถส่งข้อมูลได้ทันเหตุการณ์
Ultrasonic Meter	1. สามารถประยุกต์ใช้เป็นเครื่องวัดความเร็วในตัว 2. สามารถต่อ กับระบบส่งข้อมูลได้โดยตรง 3. การติดตั้งง่าย	1. ราคาสูง (นำเข้าจากต่างประเทศ) 2. สภาพแวดล้อมมีผลกับการวัด
Laser Depth Meter	1. สามารถประยุกต์ใช้เป็นเครื่องวัดความเร็วในตัว 2. สามารถต่อ กับระบบส่งข้อมูลได้โดยตรง 3. การติดตั้งง่าย	1. ไม่สามารถใช้ได้กับน้ำที่มีตะกอนหนาแน่น 2. ราคาสูง (นำเข้าจากต่างประเทศ) 3. มีข้อจำกัดกับความลึกน้ำ

ซึ่งจากที่กล่าวมาในขั้นตอนการวัดความลึกของน้ำไม่เพียงพอต่อการประมาณค่าอัตราการไหลของน้ำ ดังนั้นการวัดความเร็วของกระแสน้ำจึงเป็นทางเลือกที่สามารถนำเข้ามาช่วยในการคำนวณอัตราการไหลได้ สามารถนำไปใช้ได้ทุกพื้นที่โดยไม่จำเป็นจะต้องมีอุปกรณ์วัดน้ำ

การตรวจวัดความเร็วของกระแสน้ำสามารถทำได้หลายวิธี โดยเครื่องมือที่แตกต่างกันออกไปโดยแต่ละชนิดจะมีจุดเด่นและข้อด้อยดังแสดงในตารางดังนี้

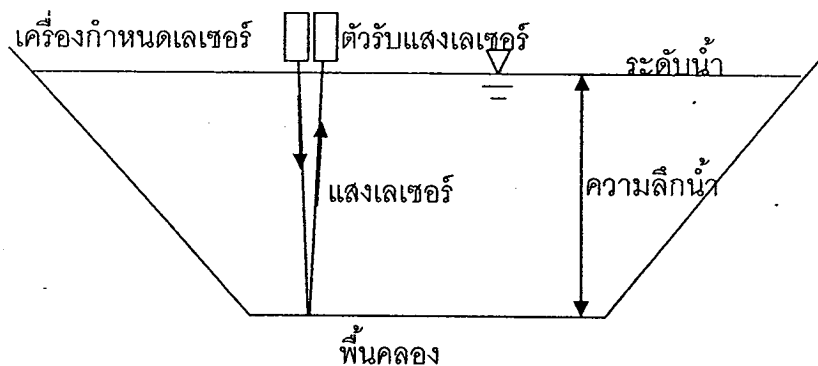
ตารางที่ 1.2 การเปรียบเทียบข้อดีและข้อเสียของวิธีการวัดความเร็วน้ำ

วิธีการวัดความเร็วน้ำ	ข้อดี	ข้อเสีย
1. Current Meter เครื่องวัดความเร็วน้ำแบบใบพัด	1. ได้ความเร็วที่เที่ยงตรง 2. สามารถเชื่อมต่อ กับระบบสื่อสารได้โดยตรง	1. ไม่สามารถวัดความเร็วเฉลี่ยได้ 2. มีขั้นตอนที่ยุ่งยากในการหาค่าความเร็วเฉลี่ย 3. ใช้เวลาและแรงงานสูง 4. ราคาสูง (นำเข้าจากต่างประเทศ)
2. ท่อปีโตก (Pitot Tube)	1. ราคากลูก 2. สภาพแวดล้อมในการวัดมีผลต่อการคำนวณได้น้อย	1. ค่าความเร็วเฉลี่ยไม่คงที่ 2. ไม่สามารถเชื่อมต่อ กับระบบส่งข้อมูลได้ 3. ใช้เวลาและแรงงานสูง
3. Ultrasonic Meter	1. ขั้นตอนวัดง่ายต่อการทำงาน 2. มีขนาดเล็กและไม่ต้องมีอุปกรณ์ 3. สามารถประยุกต์ใช้วัดความลึกได้ 4. สามารถเชื่อมต่อ กับระบบสื่อสารได้โดยตรง	1. ราคาสูง (นำเข้าจากต่างประเทศ) 2. สิ่งแวดล้อมมีผลต่อความแม่นยำของ การวัด
4. Laser Velocimetry	1. มีขนาดเล็กและไม่ต้องมีอุปกรณ์	1. ราคาสูง (นำเข้าจากต่างประเทศ)

	2. สามารถประยุกต์ใช้วัดความลึกได้ 3. ขั้นตอนวัดง่ายต่อการทำงาน 4. สามารถเชื่อมต่อกับระบบสื่อสาร ได้โดยตรง	ต่างประเทศ) 2. สิ่งแวดล้อมมีผลต่อความ แม่นยำของการวัด
5. Electromagnetic	1. ขั้นตอนวัดง่ายต่อการทำงาน 2. มีขนาดเล็กและไม่ต้องมีอาคาร 3. สามารถเชื่อมต่อกับระบบสื่อสาร ได้โดยตรง	1. ราคาสูง (นำเข้าจาก ต่างประเทศ) 2. มีขั้นตอนที่ยุ่งยากในการหาค่า ความเร็วเฉลี่ย 3. ใช้เวลาและแรงงานสูง

จากการที่ได้พิจารณาข้อดีและข้อเสียของเครื่องมือวัดความลึกและความเร็วน้ำแล้ว งานวิจัยนี้จะทำการศึกษาเครื่องมือวัดน้ำที่มีใช้หลักการของเลเซอร์ หรือ Laser Velocimetry ซึ่งมีความสามารถในการวัดความลึกและความเร็วของกระแสน้ำ

การใช้แสงเลเซอร์วัดความลึกของน้ำจะอาศัยหลักการทำงานเดียวกับเครื่องวัดระยะทางโดยเลเซอร์ ทำงานโดยการส่งคลื่นแสงเลเซอร์จากผิวน้ำลงไปยังห้องน้ำเป็นจังหวะๆ เลเซอร์จะสะท้อนพื้นห้องน้ำกลับมาขึ้นมาเข้าตัวรับสัญญาณที่ผิวน้ำ ระยะทางหรือความลึกจะคำนวณได้จากเวลาที่ใช้ในการเดินทางแล้วหารด้วยสองดังที่แสดงในรูปที่ 1.1 วิธีนี้จะมีข้อจำกัดดังนี้ 1. ความสามารถในการสะท้อนของแสงเลเซอร์จะขึ้นอยู่กับชนิดของพื้นผิวคลอง 2. ปริมาณตะกอนในน้ำจะมีผลโดยตรงกับการสะท้อนของแสงเลเซอร์ ซึ่งข้อจำกัดเหล่านี้สามารถแก้ไขได้โดยการเลือกวิธีและความถี่ในการฉายแสงเลเซอร์ที่เหมาะสม

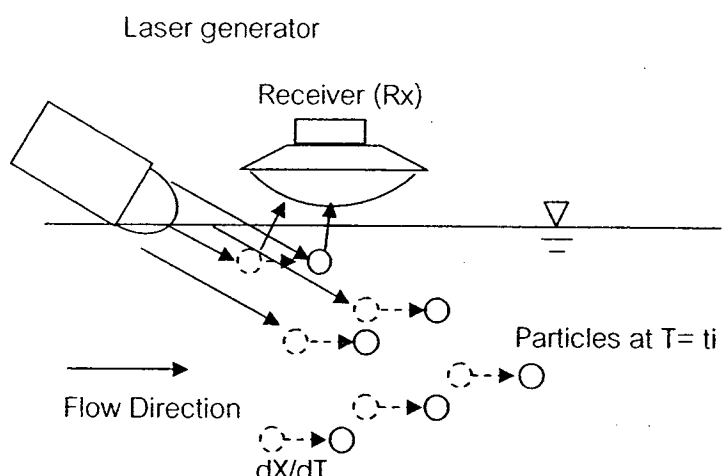


รูปที่ 1.1 การประยุกต์ใช้เลเซอร์เพื่อวัดความลึกของระดับน้ำ

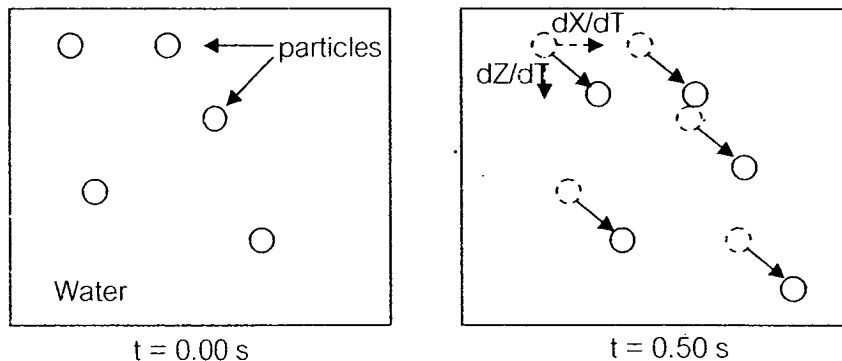
การใช้แสงเลเซอร์ในการตรวจวัดปริมาณน้ำ

การใช้แสงเลเซอร์ในการตรวจวัดมีข้อดีคือสามารถวัดได้ทั้งความเร็วและระดับน้ำ และสามารถทำได้หลายวิธี โดยทั้งหมดมีหลักการเบื้องต้นคือ การฉายแสงเลเซอร์ไปยังน้ำที่มีปริมาณตะกอนเป็นส่วนประกอบ แสงเลเซอร์จะสะท้อนตะกอนที่อยู่ในน้ำ ตำแหน่งของตะกอนจะถูกบันทึกโดยกล้องถ่ายภาพหรือกล้องวีดีโอ(รูปที่1.2)การบันทึกภาพจะทำเป็นระยะๆที่เวลาต่างๆกัน

ข้อมูลภาพจะถูกส่งเข้าเครื่องคอมพิวเตอร์เพื่อทำการวิเคราะห์ตำแหน่งของตะกอนที่เวลาใดๆ ซึ่งเป็นการคำนวณความเร็วจะทำโดยนำร้อยละทางการเคลื่อนที่ของตะกอนในแนวแกน dX/dT dY/dT และ dZ/dT ของตะกอนโดยรวมมาคำนวณเป็นร้อยละทางเฉลี่ยของแกนที่คำนวณได้หารด้วยเวลาที่แตกต่างกัน ดังแสดงในรูปที่ 1.2 และ 1.3 ตัวอย่างวิธีการใช้แสงเลเซอร์ในการวิเคราะห์การเคลื่อนตัวของตะกอน เช่น Laser Doppler Anemometry (LDA) Digital Particle Image Velocity (DPIV) Digital Particle Tracking Velocimetry (DPTV) Holographic Particle Image Velocimetry (HPIV) Doppler Global Velocimetry (DGV)/Planar Doppler Velocimetry (PDV) โดยทั้งหมดนี้จะมีขนาดของตะกอนในน้ำเป็นสิ่งที่สำคัญต่อการวัดความเร็วขนาดของตะกอนที่ไม่เล็กและไม่ใหญ่จนเกินไปเป็นสิ่งสำคัญต่อการวัดความเร็ว เพราะถ้าตะกอนมีขนาดเล็กจนเกินไปจะทำให้ยากต่อการจับภาพและติดตาม ในอีกทางหนึ่งคือถ้าตะกอนมีขนาดใหญ่จนเกินไป ความเร็วของตะกอนก็อาจจะไม่ใช้ความเร็วของการไหลที่แท้จริงเนื่องจากแรงโน้มถ่วงจะมีอิทธิพลต่อการเคลื่อนที่มาก จากการทดลองของ Victor, C.^{10,3} พบว่า ตะกอนควรจะมีขนาดประมาณ 1-50 micron ในน้ำ จึงจะเหมาะสมต่อการวัดความเร็ว ซึ่งตะกอนประเภทนี้เป็นตะกอนประเภท Sediment load ซึ่งเป็นชนิดตะกอนที่มีอยู่ทั่วไปในน้ำคลอง



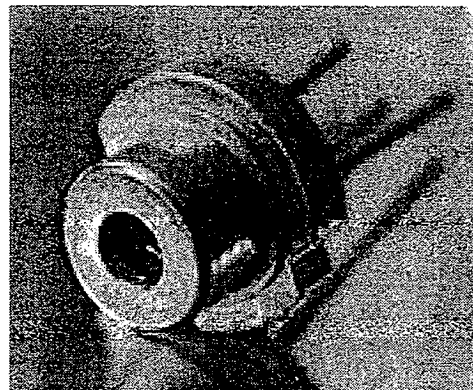
รูปที่ 1.2 การประยุกต์ใช้เลเซอร์เพื่อวัดความเร็วของการไหล (ภาพ



รูปที่ 1.3 การวิเคราะห์การเคลื่อนตัวของตะกอนในน้ำ (ภาพ)

จากที่ได้กล่าวมาแล้วข้างต้น สิ่งสำคัญของระบบคือการใช้คลื่นแสงเลเซอร์ที่มีความยาวคลื่นที่เหมาะสมกับสภาพน้ำและชนิดตะกอนที่มีอยู่ในคลอง มีพัฒนามากพอที่จะเดินทางในตัวกลาง และมีความสามารถที่จะสะท้อนกลับจากตะกอน ซึ่งจะส่งผลโดยตรงกับความสามารถในการจับภาพตะกอนในน้ำ ความเร็วและความลึกของน้ำ

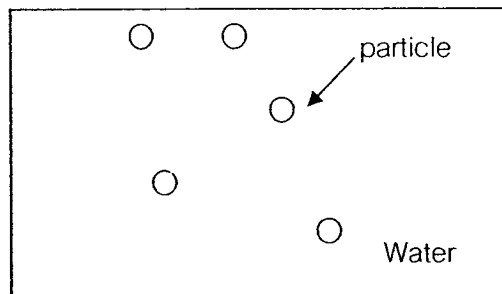
องค์ประกอบของเครื่องมือในการทดลองนี้จะประกอบด้วยหัวส่งสัญญาณแสงเลเซอร์(Tx LED) ตัวรับสัญญาณ (Rx CCD) ไมโครคอนโทรเลอร์ (MCU) และเครื่องคอมพิวเตอร์ โดยหัวส่งสัญญาณจะทดลองใช้หัวสัญญาณเลเซอร์ขนาดเล็ก (Laser LED) รูปที่ 1.4 ซึ่งมีการจัดทำโดยผู้ผลิต อุปกรณ์เครื่องไฟฟ้าทั่วไป เช่นมาใช้ การทดสอบคุณสมบัติของเพื่อส่องแสงสู่ตะกอนในน้ำจะต้องทำการทดลองเลเซอร์ที่มีความยาวคลื่นที่แตกต่างกันเพื่อหาความยาวคลื่นแสงและระบบที่เหมาะสมต่อสภาพแวดล้อมของการวัด



รูปที่ 1.4 หัวส่งสัญญาณ เลเซอร์ขนาดเล็ก (Samsung's Laser LED)

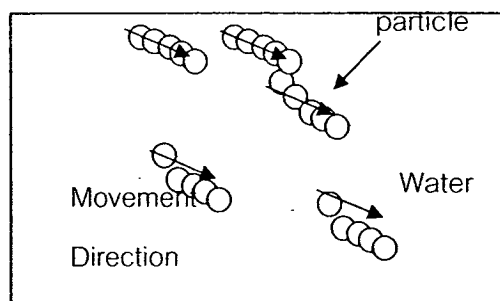
สัญญาณแสงที่สะท้อนจากตะกอนจะย้อนกลับเข้าสู่ตัวรับสัญญาณ ในขั้นตอนจะใช้กล้อง CCD ที่มีความเร็วสูงและเลนส์กำลังขยายสูงเป็นตัวรับสัญญาณ ประกอบกับ Infrared Filter เป็นตัวฟิลเตอร์กรองสัญญาณลดแสงช่วงปกติ (VL) และแรงรบกวน ก่อนที่จะเข้าสู่กล้อง CCD ข้อมูลจะถูกส่งเข้าสู่คอมพิวเตอร์ในรูปแบบภาพที่ถูกกรองแสงแล้วเพื่อเข้าสู่การโปรแกรม วิเคราะห์การเคลื่อนที่ของตะกอน (Digital Image Processor) รูปแบบข้อมูลภาพจะแสดง ตำแหน่งของอนุภาคตะกอนและเวลาที่บันทึก ซึ่งสามารถแบ่งการวิเคราะห์ได้ 2 วิธี

1. การใช้วิธีถ่ายความเร็วสูง ซึ่งเป็นความเร็วที่สูงกว่าความเร็วการเคลื่อนตัวของตะกอน ภาพที่ได้จะมีลักษณะแสดงตำแหน่งของตะกอนแบบนิ่ง (รูปที่ 1.5) จะต้องนำภาพที่เวลาต่างๆ กันมาเปรียบเทียบเพื่อหาความเร็วและทิศทางการเคลื่อนที่



รูปที่ 1.5 แสดงภาพถ่ายอนุภาคตะกอนสภาวะนิ่ง

2. การใช้วิธีถ่ายความเร็วต่อ ซึ่งเป็นความเร็วที่ต่ำกว่าความเร็วการเคลื่อนตัวของตะกอน ภาพที่ได้จะมีลักษณะแสดงตำแหน่งของตะกอนแบบต่อเนื่อง (รูปที่ 1.6) วิธีนี้สามารถคำนวณความเร็วและทิศทางของการเคลื่อนที่ได้โดยตรง



รูปที่ 1.6 แสดงภาพถ่ายอนุภาคตะกอนสภาวะเคลื่อนที่

จากทฤษฎีที่กล่าวมา เทคนิควิธีการฉายแสงเลเซอร์จะเป็นปัจจัยสำคัญต่อการจับตำแหน่งของอนุภาคตะกอน เทคนิควิธีการฉายแสงมีหลากหลายวิธีเสนอในหัวข้อต่อไป การทบทวนวรรณกรรม/สารสนเทศที่เกี่ยวข้อง

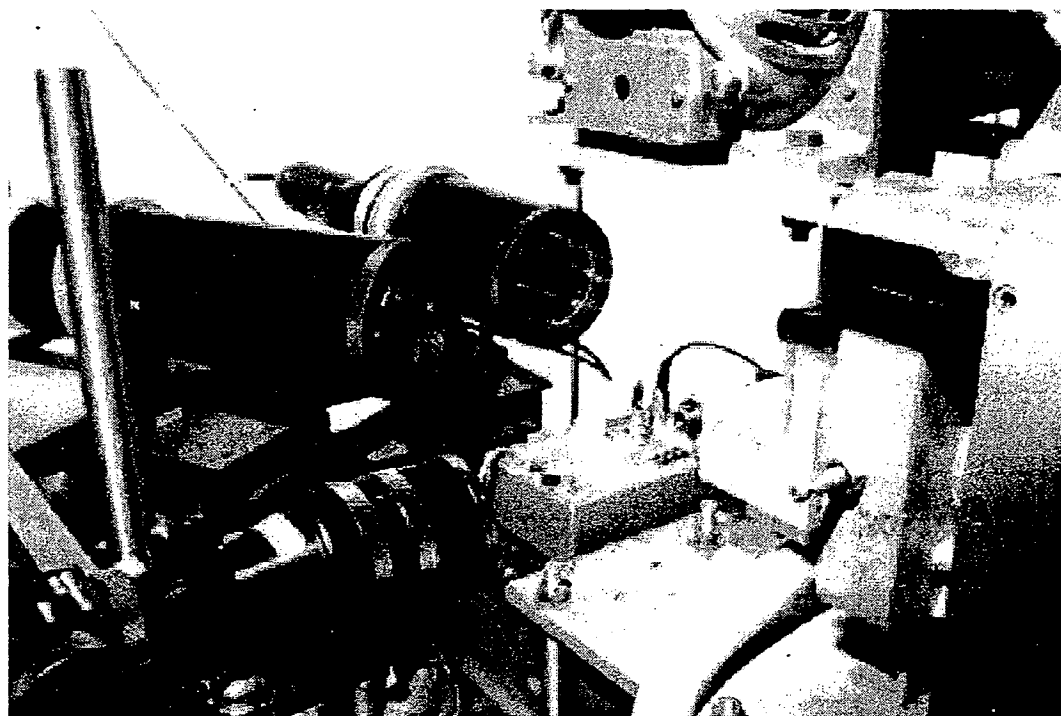
2. การทบทวนวรรณกรรม/สารสนเทศ (information) ที่เกี่ยวข้อง

การทดลองของ Yeh, Y. & Cummins^{6,17} ได้ทำการทดลองวิธี Laser Doppler Anemometry ในปี 1964 ซึ่งเป็นการทดลองในยุคแรกๆ ของการนำแสงเลเซอร์มาใช้ในการตรวจจับตำแหน่งของตะกอนในน้ำ Victor Chan ได้ทำการศึกษาและทดลองใหม่อีกรอบโดยได้กล่าวอิบายถึงหลักการดังนี้

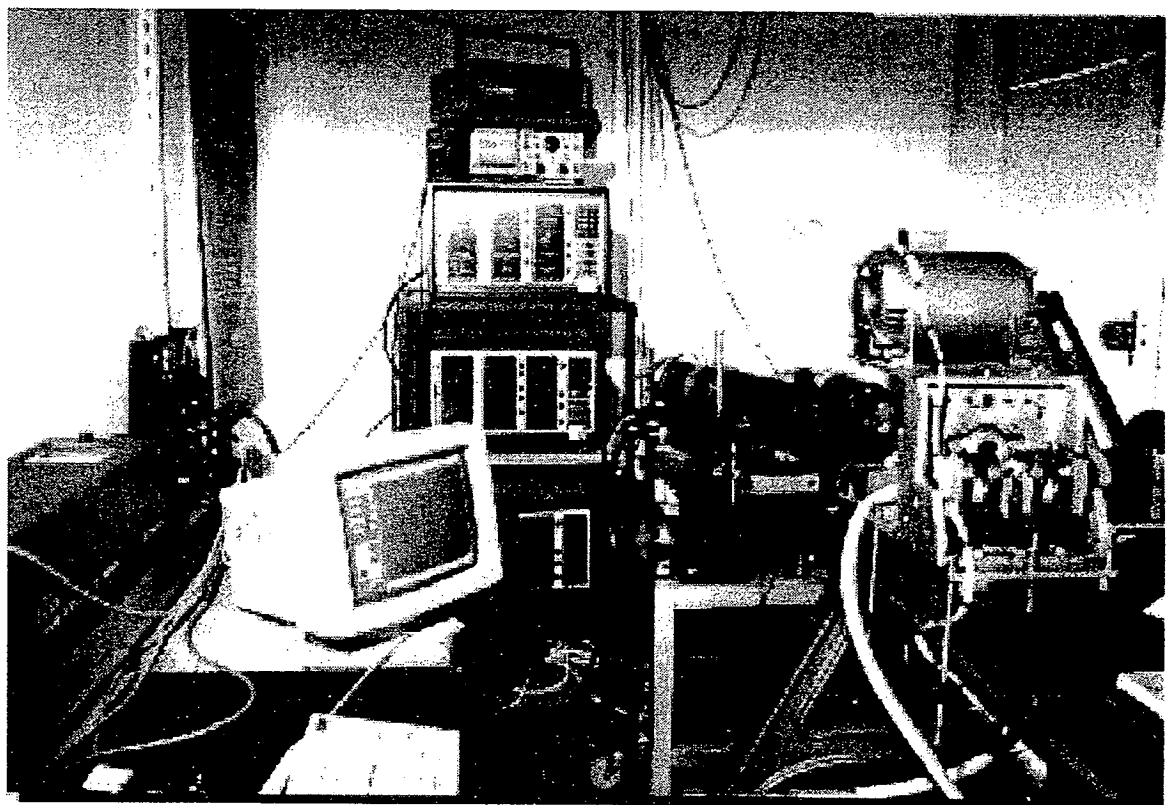
"Laser Doppler Velocimetry (LDV) is a single point optical measuring technique which enables the velocity of the seeded particles (~0.5 - 5 microns

(in air) or 1~20 microns (in water)) conveyed by a fluid flow to be measured in a non-intrusive manner. Generally speaking, for all Mie-scattering Velocimetry techniques, the seeded particles must be big enough to scatter sufficient light for signal detection (good signal to noise ratio) but small enough to follow the flow (laminar or turbulent) faithfully (in-synchronization with the localized fluid motion). By analyzing the Doppler-equivalent frequency of the laser light scattered (intensity modulations within the crossed-beam probe volume) by the seeded particles within the flow, the local velocity of the fluid can be determined. The area of interest within the flow field is sampled by a crossed-beam in a point by point manner.” (Yeh, Y. & Cummins)^{6.17}

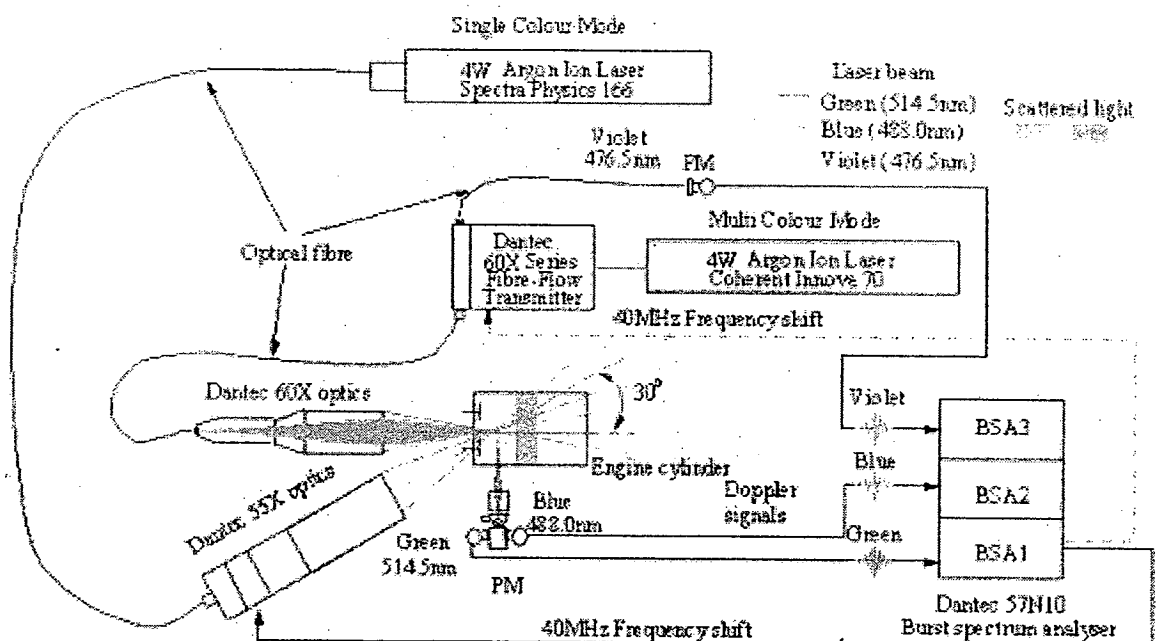
“Recently, Strunck V. have demonstrated in experiments that higher spatial resolution can be yielded with commercial 3D LDA system. They recommended to manufactures that they should provide the users of modern LDA systems with the arrival times of the burst signals of each LDA channel when coincidence mode is employed.” (Strunck V.)^{6.16} ดังแสดงในรูปที่ 2.1-2.4



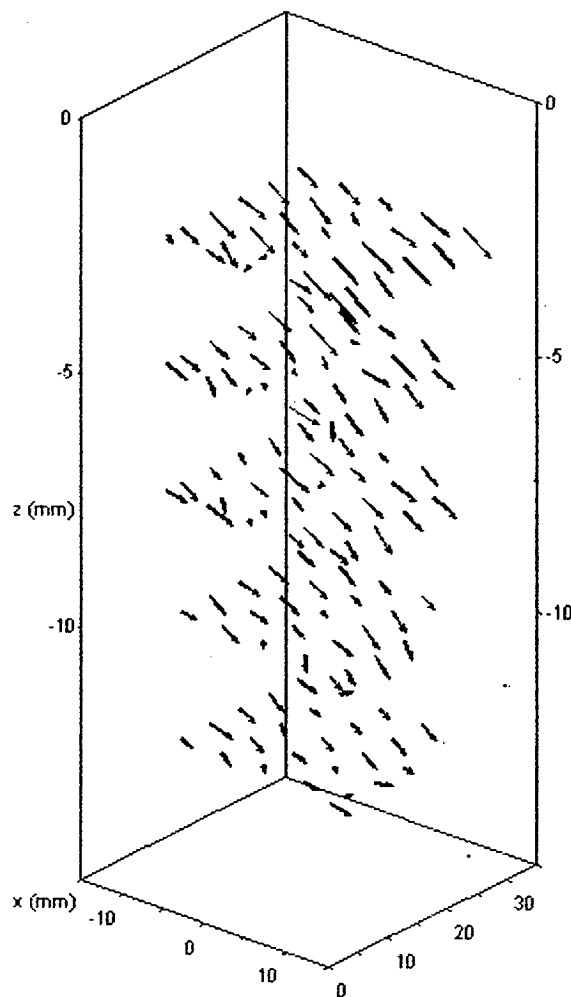
รูปที่ 2.1 การทดลองของ Strunck V. แบบ Laser Doppler Velocimetry (LDV)



รูปที่2.2 การทดลองของ Strunck V. เครื่องมือที่ใช้ในการทดลอง



รูปที่2.3 การทดลองของ Strunck V. รูปแบบการเชื่อมต่อ

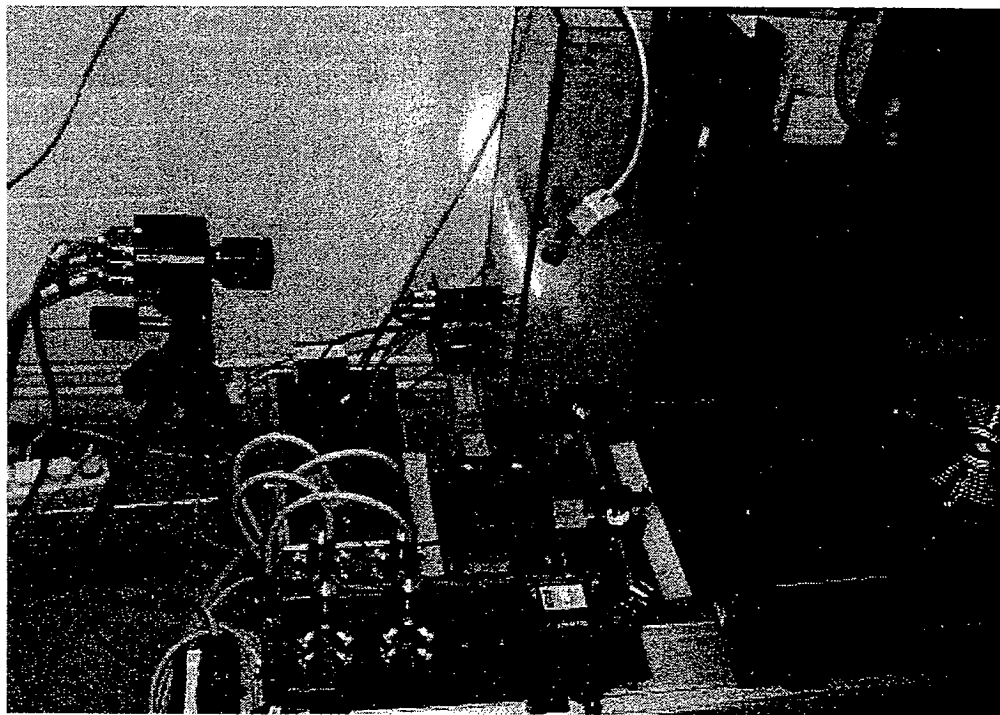


รูปที่ 2.4 การทดลองของ Strunck V. การวิเคราะห์ข้อมูลการเคลื่อนตัวของตะกอน

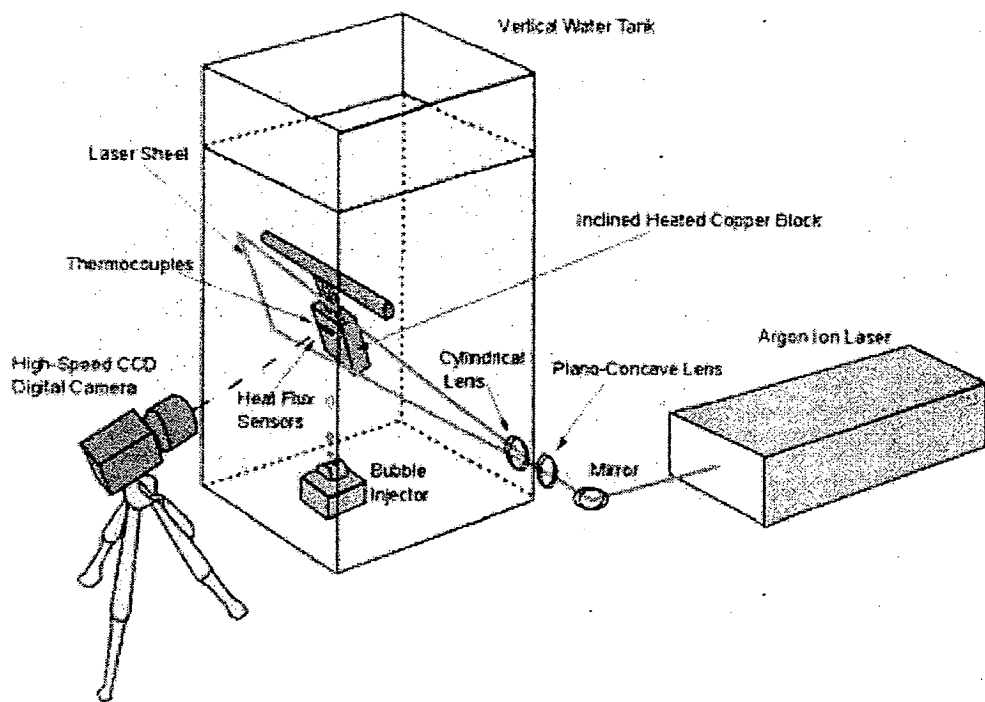
ในปี 2543 Westerweel ได้ทำการทดลองระบบ Digital Particle Image Velocimetry (DPIV) ซึ่งได้กล่าวอธิบายหลักการไว้ดังนี้

“Digital Particle Image Velocimetry (DPIV) is a planar optical measurement technique which provides a means of measuring the velocity of seeded particles (~1 - 50 microns (in air)) in the flow of interest over a plane using a charge-coupled device (CCD) camera. The measurement area within the flow field is defined by the position and physical dimension of a fan of laser light. With the illumination of two short duration laser flashes in the measurement area, a double-exposure of the flow field is captured (through the CCD camera to the frame grabber card) on the computer. Once the spatially displaced images are stored in two separate frames, each velocity vector is extracted by performing mathematical correlation analysis on a cluster of particles within each interrogation region between the two frames (eliminating the problem of directional ambiguity). The PIV interrogation process is repeated until all the required velocity information is extracted from the captured record. There should be a high

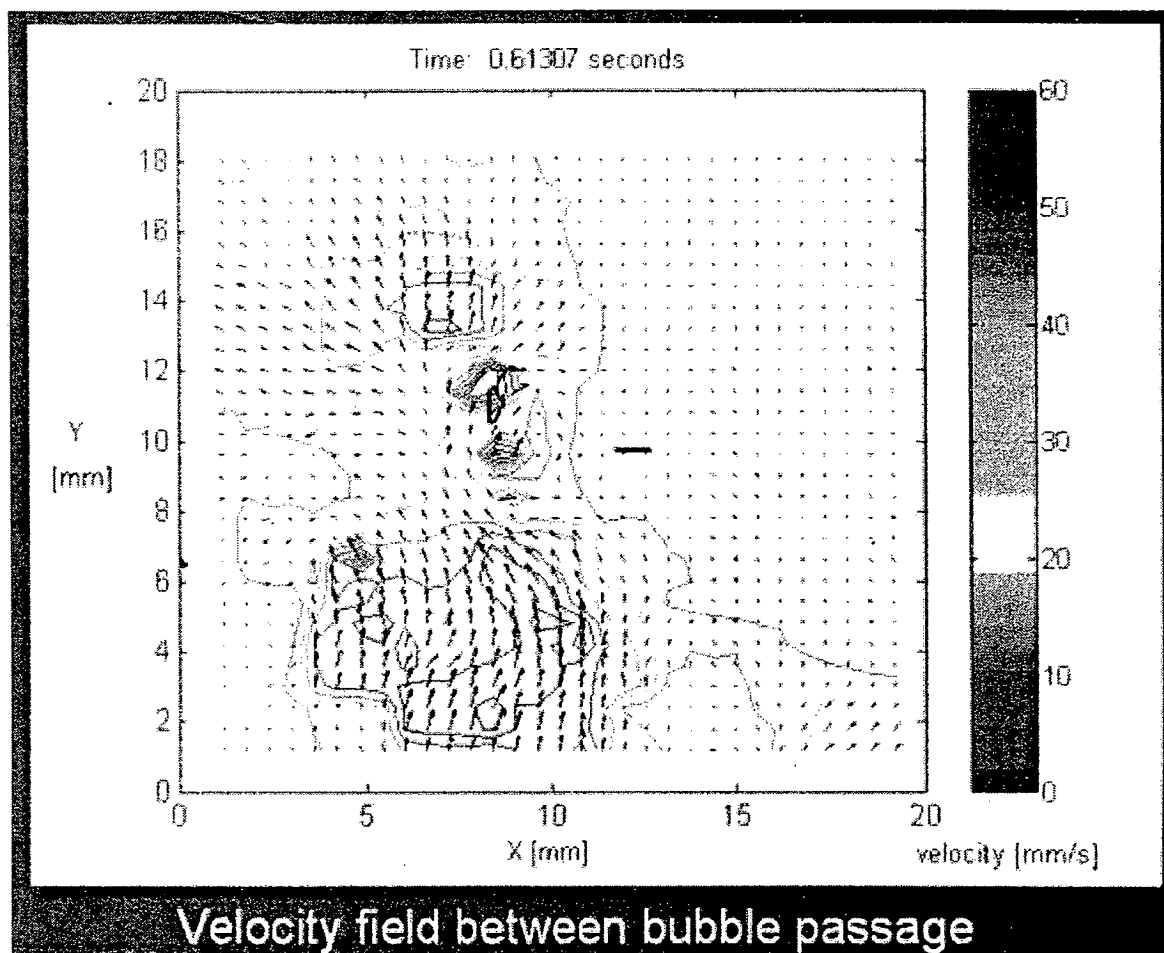
enough seeding concentration of particle images within the interrogation window to minimize any potential bias error arise from data drop out" (Westerweel 2000). การทดลองแสดงไว้ในรูปที่ 2.5-2.7



รูปที่ 2.5 การทดลองของ Westerweel แบบ Digital Particle Image Velocimetry (DVIP)



รูปที่ 2.6 การทดลองของ Westerweel แบบแสดงการทำงานของเครื่องมือของ DVIP

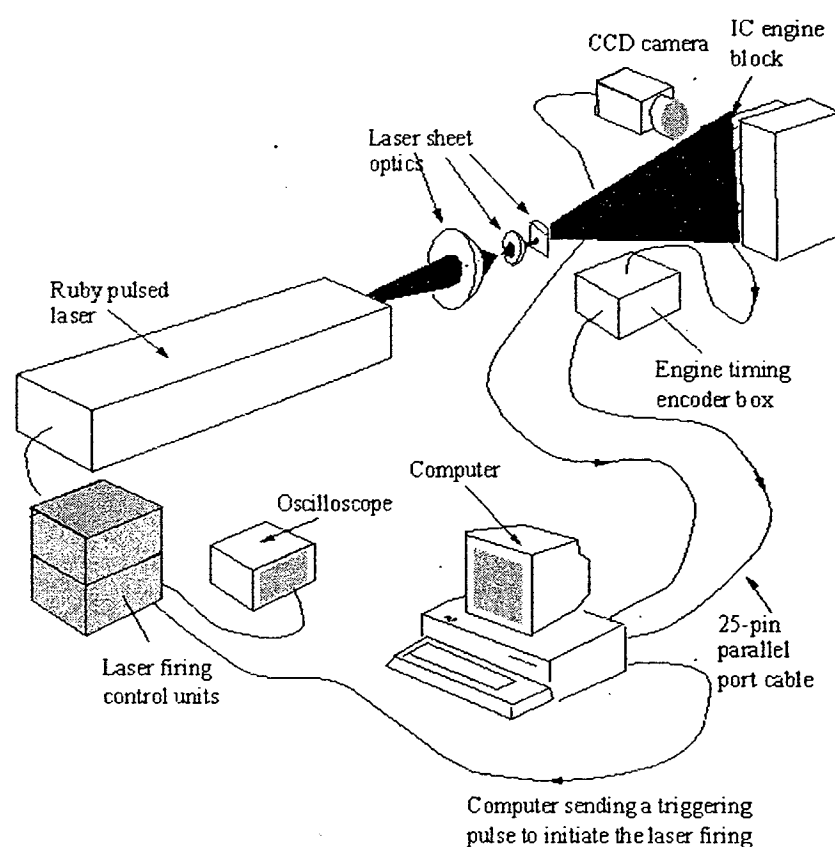


Velocity field between bubble passage

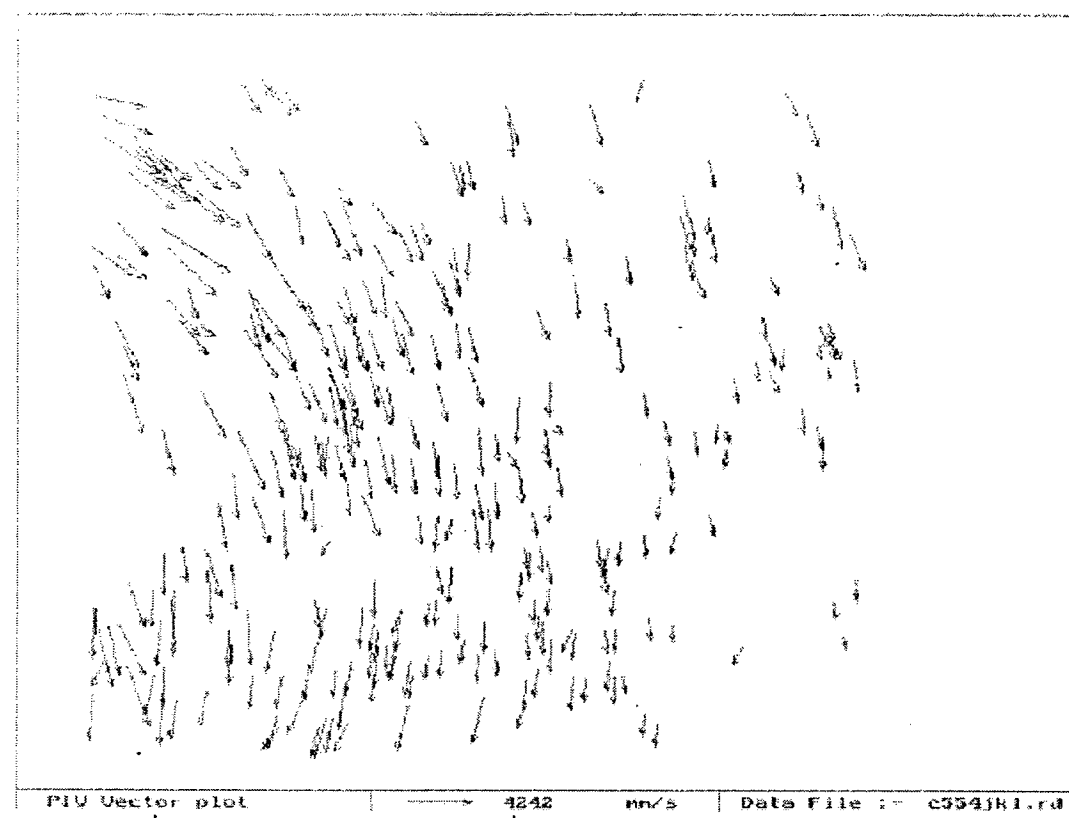
รูปที่ 2.7 การทดลองของ Westerweel หารวิเคราะห์ข้อมูลของระบบ DVIP

อีกวิธีที่ใช้แสงเลเซอร์ในการวิเคราะห์การเคลื่อนตัวของตะกอนคือ Digital Particle Tracking Velocimetry ซึ่งทดลองโดย Grant, I^{6,18} เป็นระบบที่ใช้การประมวลผลจากรูปที่ได้จากการถ่ายวิดีโอซึ่งมีความเร็วสูงทำให้สามารถติดตามอนุภาคตัวได้เร็วกว่าระบบอื่นๆ Grant ได้อธิบายหลักการเบื้องต้นไว้วัดนี้

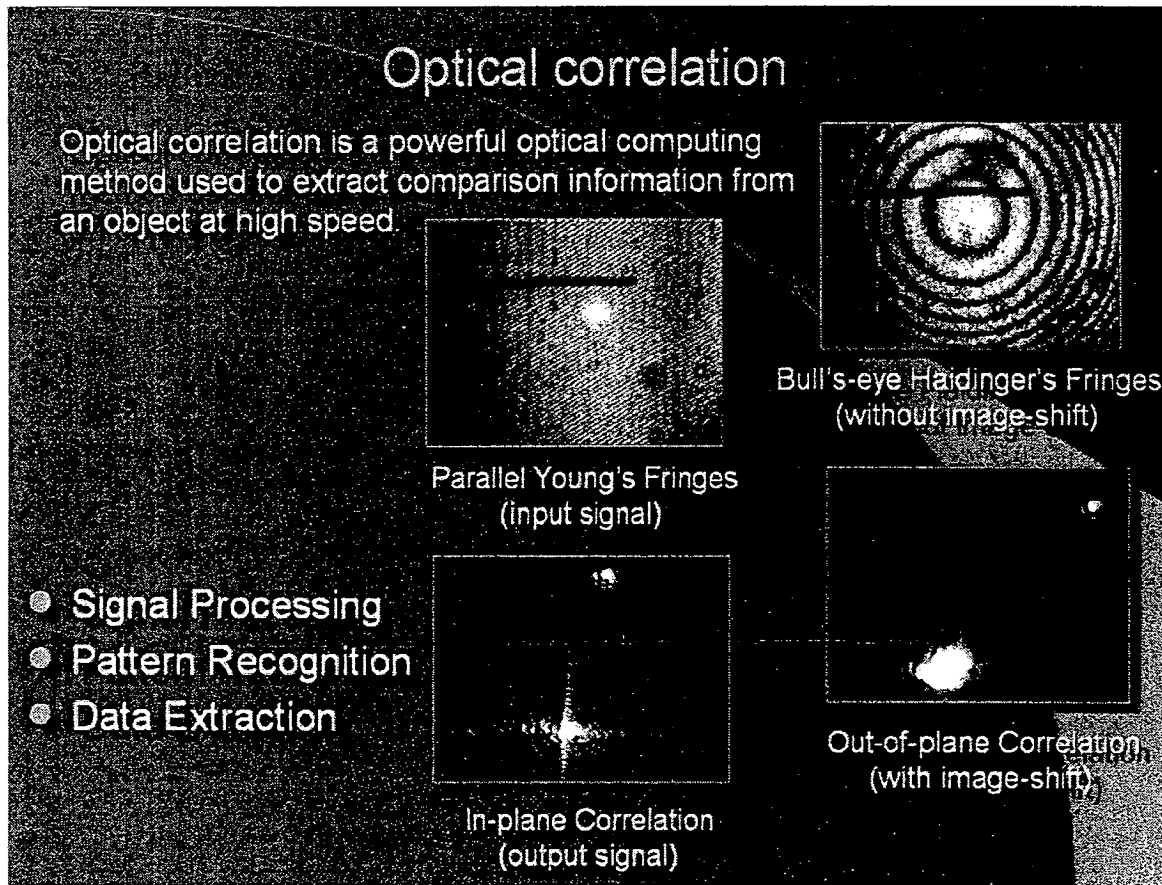
“Digital Particle Tracking Velocimetry (DPTV), in contrast, is the low particle concentration mode of DPIV. Since, the required seeding density is lower in comparison with DPIV, tracking the movement of the individual particles (~5 - 50 microns (in air)) within the area of interest yields better results than the conventional statistical analysis methods (auto-correlation / cross-correlation) due to a higher detection rate which can be achieved within the measurement window. The DPTV technique could have an imaging window larger than DPIV because of the sparsely seeded flow. DPTV could arguably yield better positional accuracy than DPIV because it allows one to one tracking of the same particle (centrod) between the two image frames. Particle Tracking Velocimetry can be extended to measure the out-of-plane and in-plane velocity components by using stereo imaging technique.” (Grant, I)^{6,18} ดังแสดงในรูปที่ 9.8-9.9



รูปที่ 2.8 แสดงการทดลองของ Grant, I โดยวิธี Digital Particle Tracking Velocimetry (DPTV)



รูปที่ 2.9 แสดงการวิเคราะห์การเคลื่อนตัวของตะกอนโดย Grant, I วิธี DPTV



รูปที่ 2.10 ภาพถ่ายที่ได้จากการไฟล์ของตະกອນ Drain, L.E ^{6.13}

จากการศึกษาวิจัยข้างต้นสามารถสรุปได้ว่าความสามารถในการตรวจจับการเคลื่อนที่ของอนุภาคที่อยู่ภายในพาหะ สามารถระบุทิศทาง ขนาด ความเร่ง ความเร็ว ของอนุภาคได้อย่างแม่นยำ ซึ่งเป็นผลมาจากการใช้ลำแสงเลเซอร์ที่มีการหักเหตัวเมื่อผ่านตัวกล้องที่แตกต่างกัน เป็นการศึกษาภายในห้องทดลองที่จำกัด สภาวะแวดล้อมให้ง่ายต่อการวิจัย

3. วิธีการวิจัยดังนี้

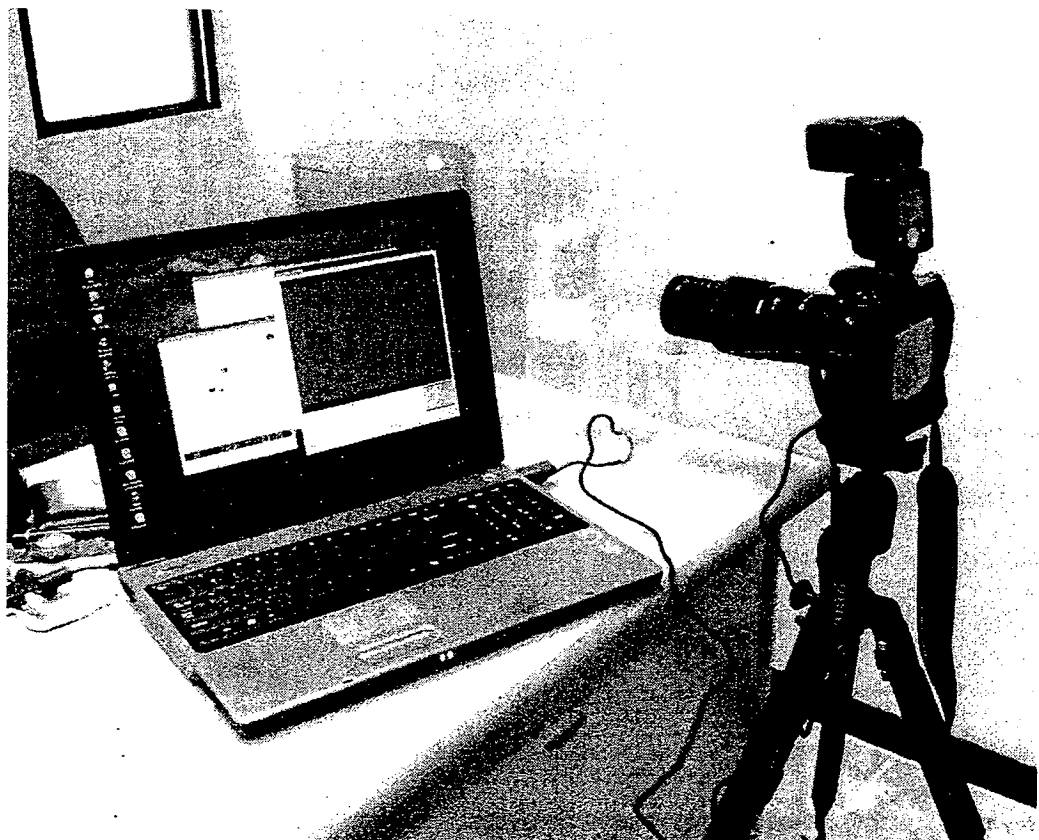
ได้ดำเนินการทดลองถ่ายภาพตະกອนเคลื่อนที่ในภายนอกและใช้การฉายแสงเลเซอร์(รูปที่ 3.1) การทดลองได้ใช้อุปกรณ์ กล้องถ่ายภาพวิดีโอที่มีกำลังขยาย 2 เท่า ซึ่งสามารถ ซึ่งสามารถแบ่งเป็นสองวิธีดังนี้

1. ฉายแสงเลเซอร์เข้าหาตະกອนโดยตรง การจำลองภาพการฉายแสงโดยตรงใน รูปที่ 3.2 แสงจะสะท้อนตະกອนเข้าหากล้อง วิธีนี้จะได้ภาพที่มีตัวตະกອนสีแดงและจากพื้นหลังสีดำแสดงในรูปที่ 3.3

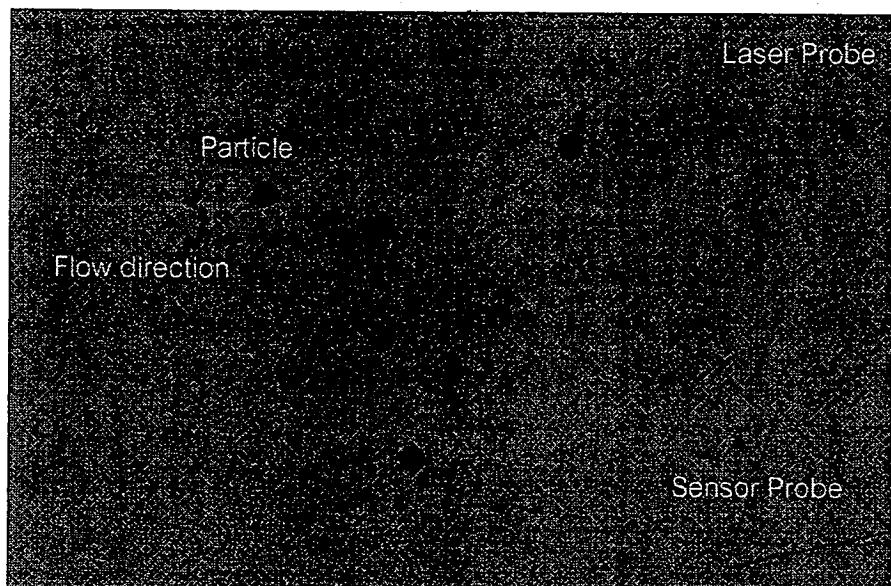
2. วิธีฉายแสงสะท้อน การจำลองภาพการฉายแสงสะท้อนในรูปที่ 3.4 แสงจะสะท้อนเข้าจากด้านหลังภาพซึ่งทำให้ได้ภาพพื้นสีแดงตະกອนสีดำแสดงในรูปที่ 3.5

วิธีการทั้งสองวิธีนี้มีความสำคัญต่อกระบวนการจัดการข้อมูลเบื้องต้น (Pre-Process Data) ในโปรแกรมส่วนที่ 1 เนื่องจากรูปแบบการจัดการสี ความเข้ม และแสงจะแตกต่างกันออกไป และส่งผลถึง

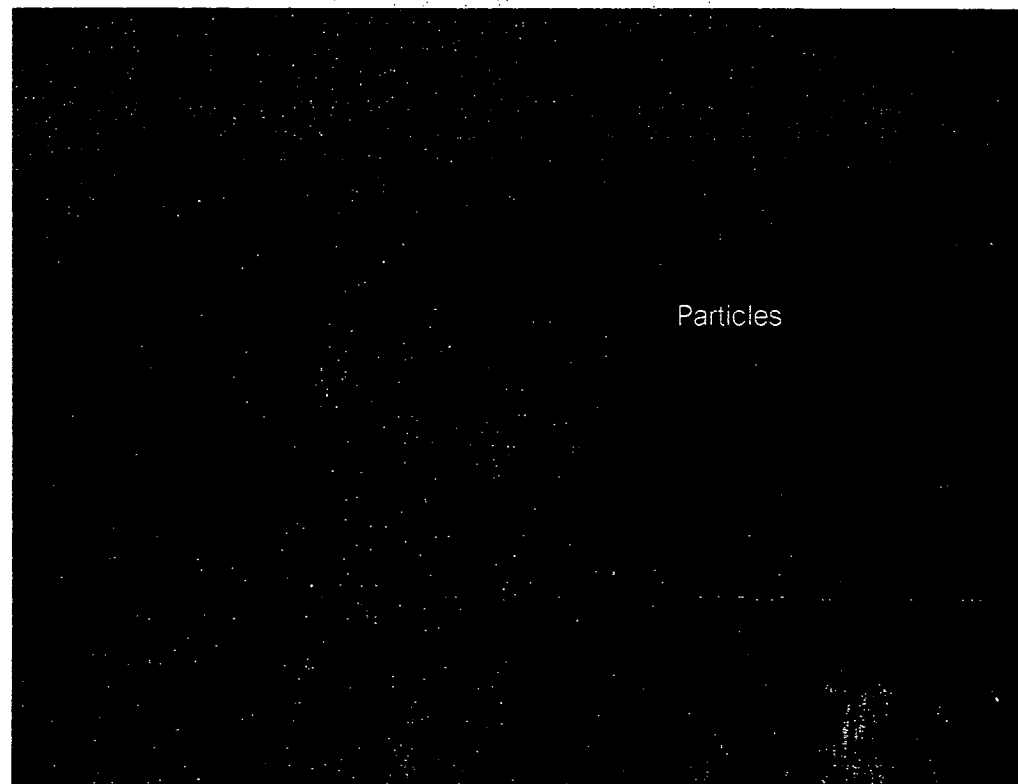
ความสามารถในการอ่านข้อมูลของโปรแกรมส่วนที่ 2 ซึ่งจะขึ้นอยู่กับความแตกต่างที่เด่นชัดระหว่างตะกอน กับจากพื้นด้านหลังของภาพที่บันทึกได้



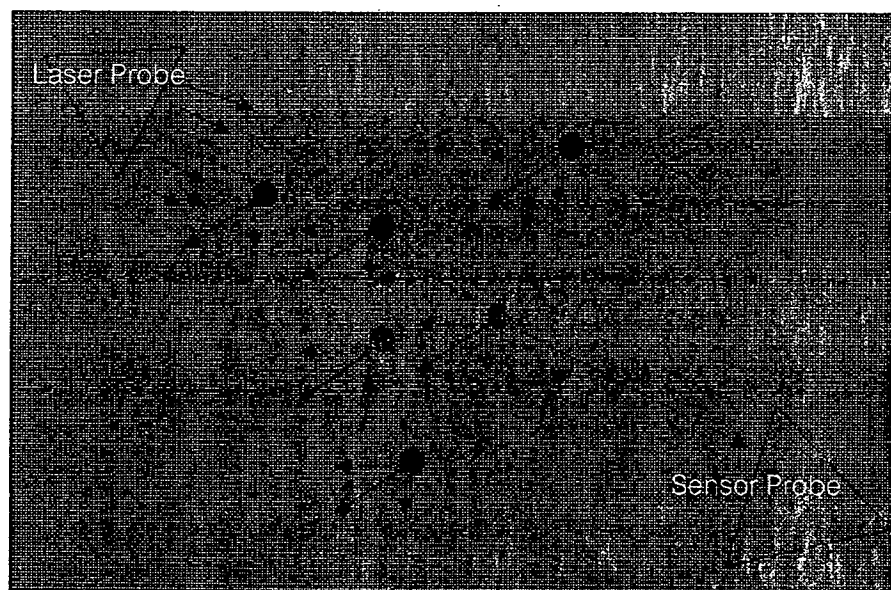
รูปที่ 3.1 การทดสอบถ่ายภาพการเคลื่อนที่ของตะกอน



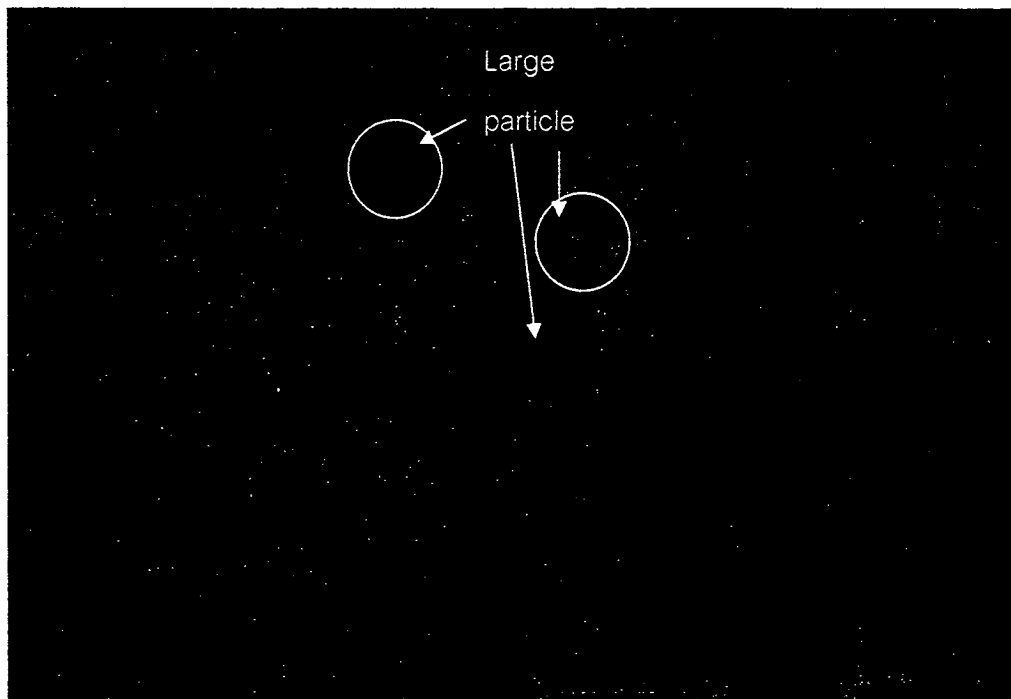
รูปที่ 3.2 ภาพจำลองการถ่ายภาพต่างกันโดยวิธีการฉายแสงจากด้านหน้า



รูปที่ 3.3 ภาพถ่ายการเคลื่อนที่ของตะกอนจากการฉายแสงเลเซอร์จากด้านหน้า



รูปที่ 3.4 ภาพจำลองการถ่ายภาพต่างกันโดยวิธีการฉายแสงสะท้อนจากด้านหลัง



รูปที่ 3.5 ภาพถ่ายการเคลื่อนที่ของตะกอนการฉายแสงเลเซอร์สะท้อนจากด้านหลัง

การวิจัยได้ดำเนินการพัฒนาโปรแกรมเพื่อใช้ในการคำนวณอัตราการเคลื่อนที่ของความเร็วการไหล โดยใช้วัดการเคลื่อนที่ของตะกอนในน้ำโดยมีความสามารถในการตรวจจับความแตกต่างในการเคลื่อนที่ของตะกอนในรูปแบบของทิศทางและขนาดของการเคลื่อนที่ แล้วสามารถแปลงเป็นค่าความเร็วต่อเวลาที่ใช้เคลื่อนที่ได้

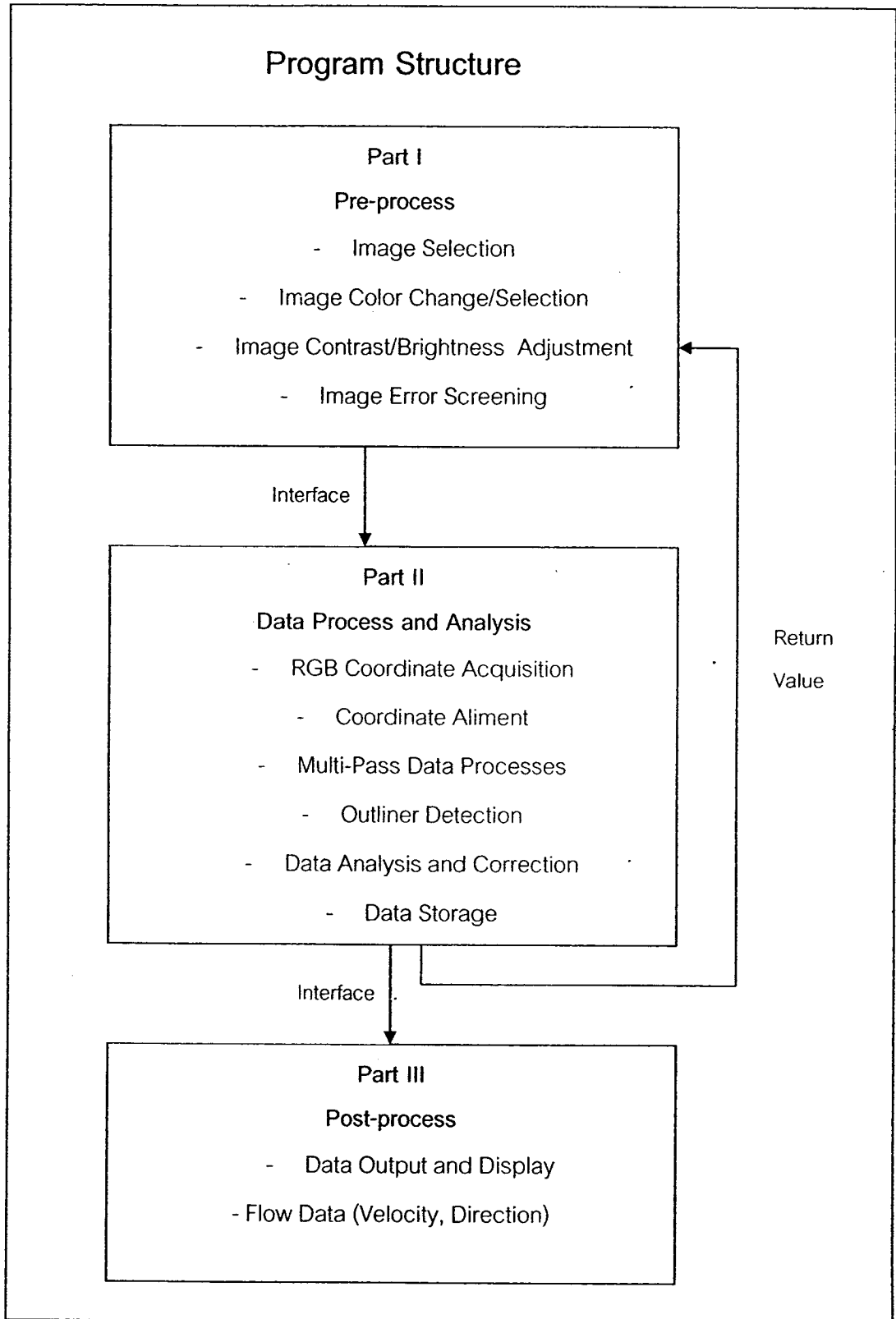
ตัวโปรแกรมจะมีโครงสร้างการทำงานแบ่งออกเป็น 3 ส่วนดังแสดงในรูปที่ 3.6 ส่วนแรกคือส่วนรับ

1. ข้อมูลเบื้องต้น (Pre-process and acquiring data) ประกอบด้วย

- 1.นำภาพจากเข้ารับภาพส่งเข้ามาสู่เครื่องคอมพิวเตอร์
- 2.ทำการปรับค่าต่างๆ เช่น ขนาด, ความเข้มแสง, สี, และความคมชัดของภาพให้สามารถนำมาร่วมกับการไหลได้
- 3.ทำการเลือกพื้นที่ที่จะทำการวิเคราะห์ออกจากส่วนที่อยู่นิ่ง

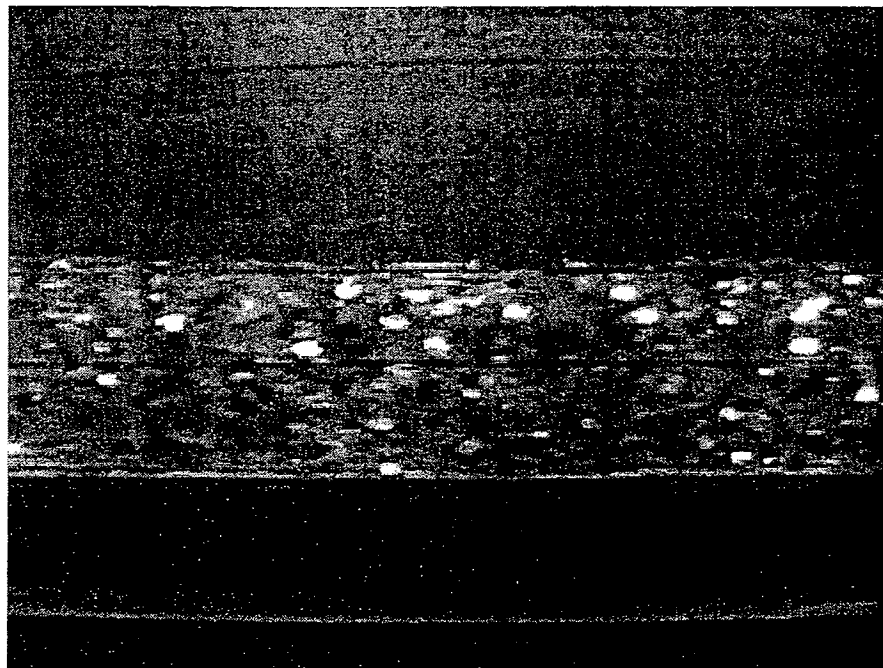
2. การประมวลผลและวิเคราะห์ข้อมูล (Data Process and Analysis)

- 1.อ่านค่าระดับสีที่ได้จากการในรูปของ RGB ทั้งก่อนการเคลื่อนที่และหลังการเคลื่อนที่
- 2.เชื่อมต่อพิกัดหลักในภาพเพื่อการคำนวณขนาดการเคลื่อนที่และความเร็วของการเคลื่อนที่ของความเปลี่ยนแปลงค่าสี
- 3.ประมวลผลของข้อมูลภาพ ใช้ระบบการประมวลผลข้อมูลแบบหลายรอบและขนาดของข้อมูล
- 4.ตรวจสอบความคลาดเคลื่อนและความผิดพลาดในการคำนวณแล้วทำการตัดส่วนที่ผิดพลาดออก
- 5.วิเคราะห์ข้อมูลแล้วทำการปรับแก้ข้อมูล
- 6.เก็บข้อมูลต่างๆ เช่น ความเร็ว พิกัด ทิศทาง ของความเร็วที่จุดต่างๆ

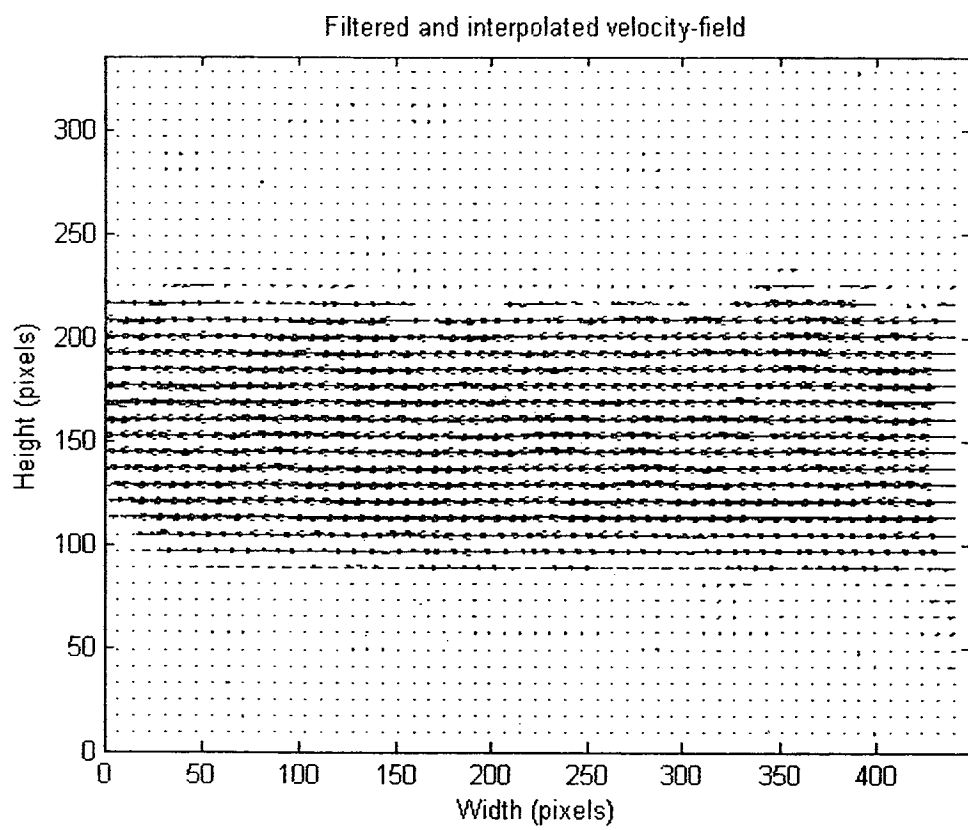


รูปที่ 3.6 โครงสร้างการทำงานของโปรแกรมตรวจวัดการเคลื่อนที่ของตะกอน

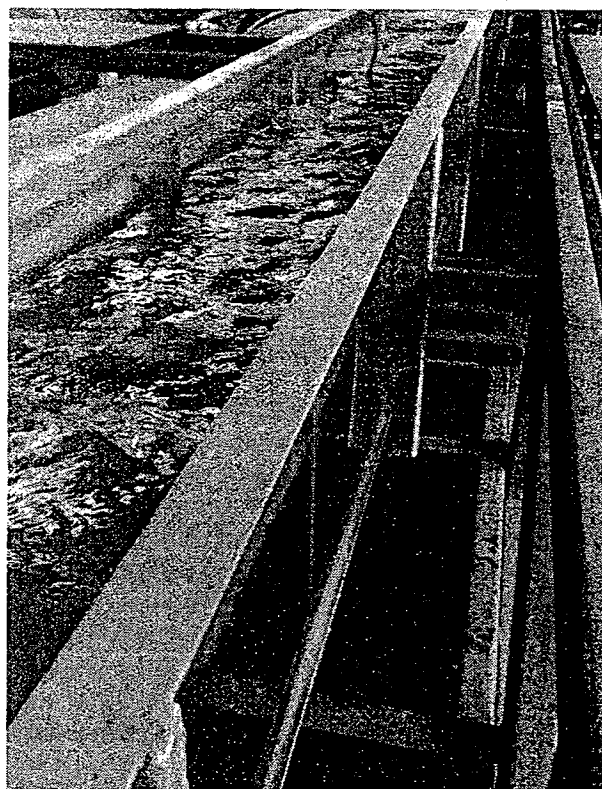
ทั้งนี้ในการวิจัยช่วงนี้ได้ทำการพัฒนาโปรแกรมส่วนที่ 2 เพื่อใช้ในการทดสอบการคำนวนนำโปรแกรมที่พัฒนาขึ้นส่วนที่ 2 มาทดสอบพบว่าสามารถใช้งานได้ โดยมีความผิดพลาดในการอ่านข้อมูลกรอบพื้นที่ของการเคลื่อนที่และขนาดของการเคลื่อนที่ของอนุภาคและการคำนวนความเร็วเฉลี่ยของการไหล ซึ่งจะต้องทำการปรับแก้ในโปรแกรมส่วนแรกเพื่อปรับธีการระบุขนาดการจำกัดพื้นที่ของการอ่านข้อมูล และปรับแก้ในโปรแกรมได้ผลดังรูปที่ 3.7 และรูปที่ 3.8



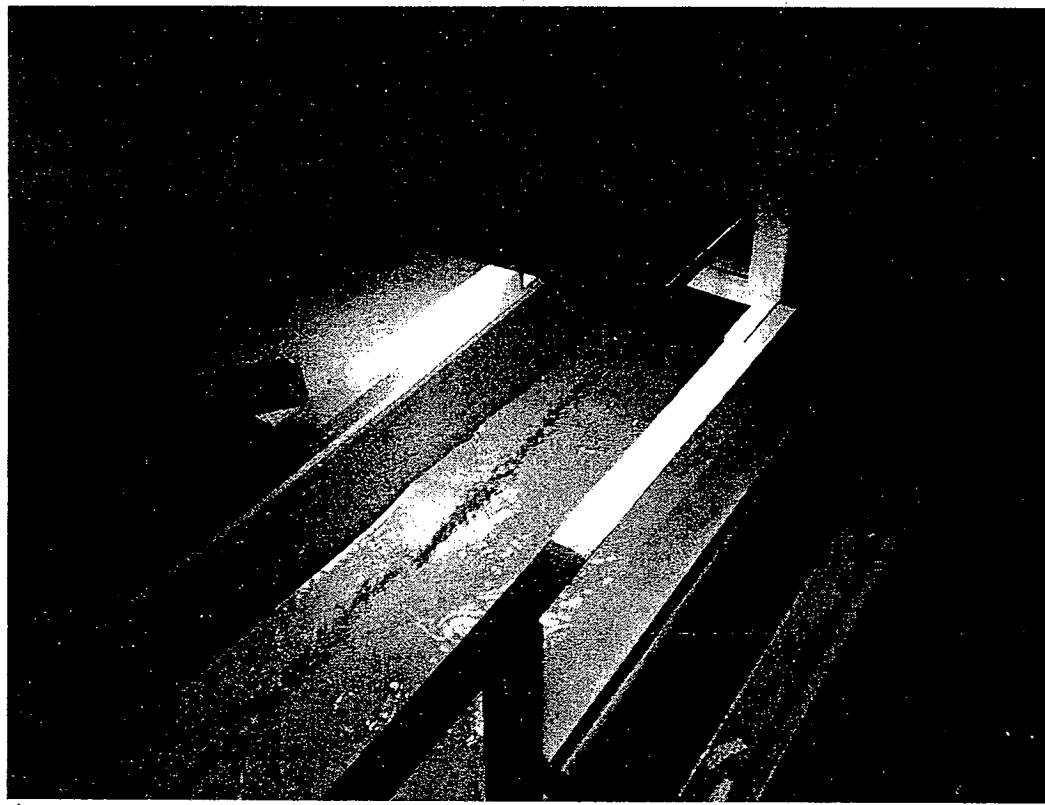
รูปที่ 3.7 ภาพการไหลด้านข้าง



รูปที่ 3.8 ผลการอ่านค่าการไหลที่คำนวณได้จากโปรแกรม

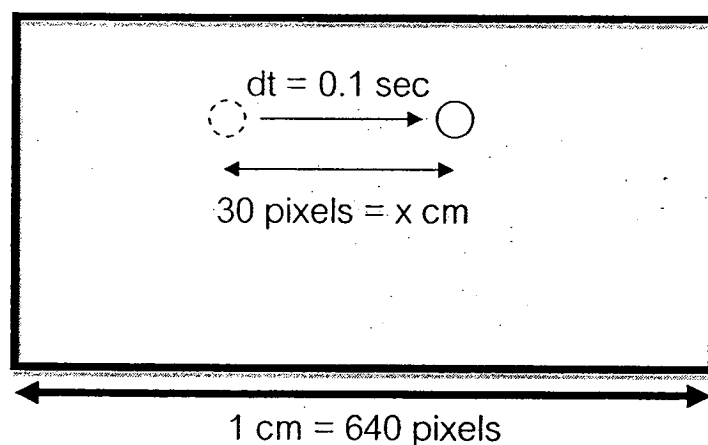


รูปที่ 3.9 ภาพทางน้ำ(Flume) ทดลองในห้องปฏิบัติการชลศาสตร์ ภาควิชาวิศวกรรมชลประทาน



รูปที่ 3.10 ภาพการควบคุมแสงในการทดลอง) ทดลองในห้องปฏิบัติการชลศาสตร์ ภาควิชาวิศวกรรม
ชลประทาน

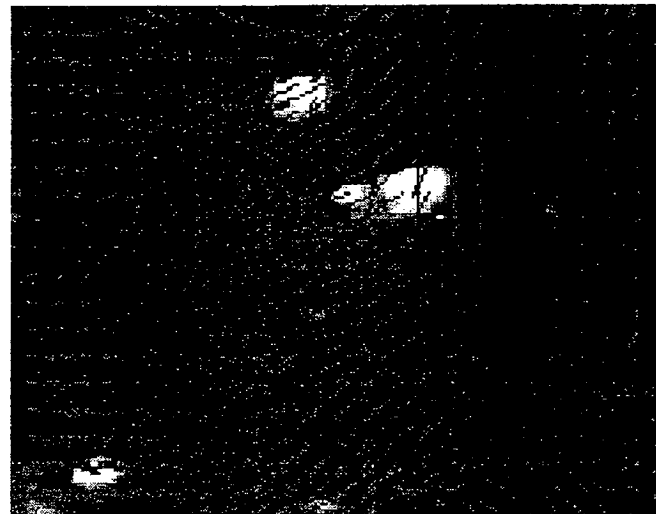
การคำนวณหาความเร็วของการเคลื่อนที่ของตัวก้อนจะทำโดยการเปรียบเทียบขนาดของการเคลื่อนที่ต่อค่าพิกัดที่รู้ขนาดที่แท้จริงอยู่แล้วหรือขนาดของภาพทั้งหมด เช่น



รูปที่ 3.11 การคำนวณปริมาณการเคลื่อนที่ของอนุภาค

$$\begin{aligned} \text{สามารถคำนวณความเร็วของการเคลื่อนที่ได้ คือ } 30/640 \times 1 \text{ cm} &= 0.0469 \text{ cm / 0.1 sec} \\ \text{ความเร็วการเคลื่อนที่} &= 0.469 \text{ cm/sec} \end{aligned}$$

ความเร็วเฉลี่ยของการเคลื่อนที่จะยังใช้การเฉลี่ยค่าการเคลื่อนที่แบบจุ โดยใช้การระบุพื้นที่ที่จะทำการเฉลี่ยความเร็วแล้วจึงนำความเร็วในพื้นที่นั้นมาคำนวณค่าเฉลี่ยอีกรอบหนึ่ง ดังตัวอย่างในรูปที่ 3.12 และแสดงค่าปริมาณการเคลื่อนที่ของอนุภาคแบบระบุพื้นที่ใน รูปที่ 3.13



รูปที่ 3.12 รูปการเคลื่อนที่ของอนุภาค

-55.7377	-85.6442	-127.839	-105.28	-30.0005	3.594196	16.8148	16.66871
-19.9881	-11.607	-48.6936	-67.538	7.735901	63.3865	74.33189	46.45898
11.91778	39.02638	35.94668	6.416628	37.7528	98.62878	132.132	57.38755
29.66273	36.59812	36.25442	36.90827	59.96278	100.0691	111.9697	-3.47117
43.20287	42.59934	45.68184	50.29636	70.19764	86.55173	49.80688	-37.0214
53.75833	51.20861	56.08799	63.03574	72.78107	75.73381	58.14266	42.24084
81.29679	65.78968	60.46528	65.33802	68.09936	71.4066	79.96133	103.9935
117.3543	77.75284	56.5555	57.39937	57.43591	57.94002	60.66699	74.8648
108.8984	80.95355	49.57703	43.01932	38.72419	32.29767	19.72517	5.133901
78.79231	72.55632	41.41402	26.65536	18.51783	7.223161	-9.14152	-21.4586
62.08902	56.54325	30.99537	15.06754	6.360093	-4.1737	-13.9887	-18.4978
48.0658	43.50024	25.38284	13.54599	8.736879	3.873086	-0.78778	-3.08871
39.74337	33.68878	27.04965	22.44161	24.01943	28.88804	34.44251	32.10637
35.95775	31.60832	33.47492	37.017	43.46413	54.57973	75.76733	84.70596
24.24177	24.24801	36.63273	50.25201	58.14283	66.36932	92.41678	119.5902
14.09031	9.431828	19.96155	46.78441	62.38409	68.15812	85.0847	102.1745
-6.01441	-9.1512	-1.06645	18.35508	46.15687	56.86611	60.40737	40.36237

รูปที่ 3.13 ตัวอย่างค่าปริมาณการเคลื่อนที่ของอนุภาคที่คำนวณได้ในหน่วยของพิกเซลต่อวินาที (ค่าภายในกรอบสีแดงในรูปที่ 3.12)

การคำนวณความเร็วเฉลี่ยภายในกรอบสีแดงเฉลี่ยปริมาณการเคลื่อนที่และทิศทางจะได้ค่าความเร็วเฉลี่ยและทิศทางเฉลี่ยจากการคำนวณ

4. ผลและวิจารณ์ผล

การทดสอบโปรแกรมคำนวณความเร็วการไหลของน้ำ ได้ทำการทดสอบโดยการเปรียบเทียบความเร็วและทิศทางการไหลจริงกับความเร็วและทิศทางการไหลที่โปรแกรมคำนวณได้ ซึ่งได้ทำการทดสอบวัดความเร็วการไหลของน้ำในอ่างทดลองขนาดเล็ก และทان้ำจำลองขนาดความยาว 10 เมตร ภายในห้องปฏิบัติการทดลองทางชลศาสตร์ ภาควิชาวิศวกรรมชลประทาน คณะวิศวกรรมศาสตร์ กำแพงแสน มีการควบคุมปริมาณแสงและปรับผิวน้ำและความเร็วในการเก็บข้อมูล ได้ทำการแปรผันความเร็วและทิศทางการไหลของน้ำสู่สภาพแสงในพื้นที่เพื่อทดสอบความสามารถในการตรวจจับการเคลื่อนที่ของอนุภาคตะกอนในน้ำ

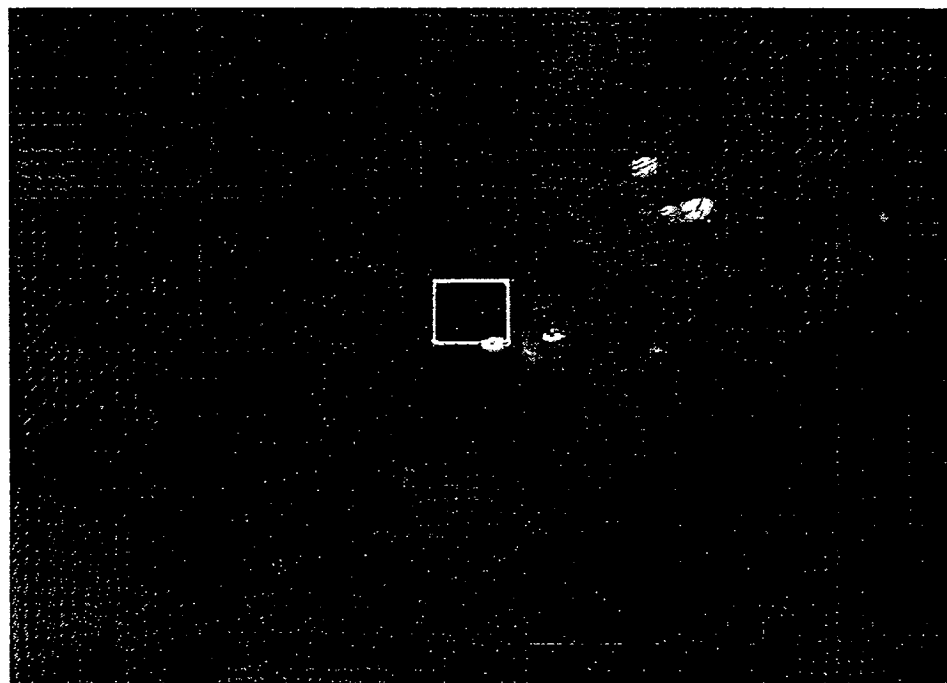
เนื่องจากข้อจำกัดของเซ็นเซอร์รับภาพที่จำกัดอยู่ที่ 26 ภาพต่อวินาทีหรือในแต่ละภาพจะมีระยะเวลาเพียง 1/26 ของวินาที ทำให้มีความสามารถตรวจจับอนุภาคที่มีความเร็วเกินจึงไม่สามารถประเมิน 10 เซนติเมตรต่อวินาทีได้ เพราะจะมีความคลาดเคลื่อนสูง จะไม่สามารถแสดงตำแหน่งของอนุภาคเป็นจุดได้ ค่าที่ได้ จะเป็นแบบยาวหรือมีการกระโดดข้ามของตำแหน่งและทิศทางการเคลื่อนที่ทำให้มีความสามารถคำนวณปริมาณการเคลื่อนที่ได้

ข้อมูลที่ได้จากการคำนวณจะประกอบด้วย 3 ส่วน คือ ค่าพิกัด ทิศทาง และ ปริมาณการเคลื่อนที่ ซึ่งสามารถนำมาแสดงอยู่ในรูปของตาราง สามารถนำมากราฟต่างๆดังที่สร้างโดยโปรแกรมประกอบด้วย

-18.8217	-12.8429	13.3581	-13.6938	-13.8656	-14.2123	-15.6098	-20.6727	-31.6947	-52.7951	-43.8737	-2.66998	16.98168	19.62942	22.46734	27.22104	18.98616	5.545908	
-23.7126	-19.4801	-19.9514	-20.4567	-21.0491	-21.8651	-23.1891	-24.7674	-24.2789	-21.8347	-9.64065	2.463547	4.352089	5.434109	5.523154	3.904689	-2.08796	-9.45333	
-25.1576	-22.0811	-22.53	-23.125	-23.7869	-24.332	-24.33	-22.9865	-20.1094	-14.6714	-9.5998	-6.90808	-4.5715	-3.08368	-3.17088	-5.86273	-10.6401	-16.7972	
-25.6515	-22.8082	-23.0348	-23.5035	-24.1606	-24.7899	-25.0191	-24.5468	-23.0109	-20.9207	-18.5247	-15.43	-11.9829	-8.6635	-6.03389	-4.68952	-6.03333	-10.2767	
-26.4749	-22.9441	-22.7241	-22.7865	-23.28	-24.2405	-25.5702	-26.9728	-28.0342	-28.3572	-27.2011	-24.5594	-20.6061	-15.9884	-9.82127	-3.76238	1.677772	1.262787	
-28.1966	-23.3756	-22.6417	-21.9648	-21.7404	-22.3492	-24.0237	-26.7374	-30.0488	-33.05	-34.65	-34.1619	-31.4868	-26.6999	-19.8023	-11.0801	0.336917	-0.1579	
-30.6818	-24.5051	-23.6313	-22.1844	-20.6546	-19.7173	-20.0856	-22.2988	-26.5079	-32.2805	-38.0655	-41.8182	-42.7297	-40.9331	-36.2272	-28.1887	-17.9496	-18.6863	
-33.051	-25.8662	-25.8813	-24.4946	-21.8478	-18.704	-16.056	-15.2501	-17.3886	-23.3126	-33.0899	-43.1853	-49.8983	-53.3914	-54.3115	-51.3776	-43.7645	-39.8423	
-33.9428	-25.8461	-28.1061	-28.74	-26.7361	-22.234	-16.4405	-10.2346	-6.86919	-7.09227	-15.0029	-32.3463	-47.7671	-57.5017	-65.5255	-72.1541	-71.6423	-61.0961	
-32.2803	-22.3625	-27.0346	-32.1549	-34.2214	-31.7849	-24.6544	-15.6229	-1.05783	-17.67342	17.58172	-5.63686	52.31828	28.74218	-2.87538	-26.6498	-41.0209	-55.7377	-85.64402
-27.7441	-15.1886	-19.1208	-28.1225	-39.5399	-43.3267	-42.7179	-30.042	9.638149	49.10768	-2.87538	-26.6498	-41.0209	-55.7377	-85.64402	-127.839			
-24.0542	-2.23703	3.6305	-11.2629	-34.8848	-48.163	-57.7715	-30.5833	27.49442	66.20887	74.58045	62.5399	36.86118	7.20217	-11.284	-19.9881	-11.607	-48.6936	
-24.3352	21.32899	40.61778	9.937391	-14.8154	-33.2342	-18.922	36.59462	62.64382	70.10249	84.57741	88.87453	75.08108	45.54973	18.67192	11.91778	39.02658	35.94668	
-1.03372	61.57997	69.0245	21.22553	8.896351	13.23918	43.67604	55.70285	42.16889	50.53877	73.19072	98.87948	100.4453	72.73092	38.65232	29.66273	36.59812	36.25442	
48.46777	90.51764	69.57317	6.991804	19.33499	49.13998	28.12885	-14.6465	-22.3869	13.63448	53.65424	94.34998	113.3625	96.20951	63.0335	43.20287	42.59934	45.68184	
87.81865	101.5312	63.40903	-2.49407	38.95523	64.37901	-10.1605	-75.6929	-49.5297	41.11815	89.39158	115.0954	131.5966	124.6023	85.27259	53.75833	51.20861	56.08799	
112.39	120.0093	81.83814	35.3607	76.98749	84.46373	7.174342	-52.7199	9.709698	124.8899	150.5835	134.3124	126.2865	125.3076	104.7547	81.29674	65.78968	60.46528	
130.5419	140.2013	110.1846	81.1817	105.1695	99.0544	60.0505	27.64599	38.7118	123.8809	156.0508	124.7131	91.19096	87.77839	119.0934	117.3543	77.75284	56.5555	
140.3503	149.5671	119.8383	91.59156	104.2895	106.9609	110.048	141.2757	142.2002	118.2442	145.9461	148.4725	74.42626	31.52531	73.77157	108.8884	80.95335	49.57703	
136.8777	141.0809	108.5265	77.25291	84.00489	99.78184	126.2565	204.014	29.2507	142.1215	87.95366	122.1551	90.67082	32.9667	34.63274	78.79231	72.55632	41.41402	
118.1089	116.4995	87.60143	59.24376	61.47435	57.80836	95.01951	16.45235	152.0995	98.77017	51.14988	71.97573	88.86437	54.80444	41.58394	62.03902	56.54325	30.99537	
87.83467	77.9684	61.89493	49.89951	41.59718	19.91392	31.0081	70.29965	42.17378	11.90587	-0.08319	23.18901	50.43214	46.19137	41.85651	48.0656	43.50024	25.38284	
55.44669	38.76184	10.09422	49.06098	63.94215	-9.72131	-27.9916	-8.55525	-25.1253	-88.2315	-131.06	-73.2065	7.316881	35.60782	44.20855	39.74337	33.68878	27.04965	
31.8978	17.22306	-26.2687	56.51996	108.6254	-7.59311	-64.4559	-51.1142	-51.4888	-143.085	-204.183	-136.526	-44.4324	8.229948	33.9543	35.95775	31.60332	33.47492	
22.93737	16.15931	5.833249	61.92418	98.92911	15.62362	-63.7966	-75.9571	-94.8056	-168.799	-205.047	-157.035	-85.2551	-26.6321	12.74512	24.24177	24.24801	36.63273	
24.65724	26.46929	39.04033	53.74863	57.70389	25.62407	-33.8431	-79.8173	-122.689	-162.541	-177.285	-156.166	-108.318	-51.4776	-3.33952	14.09031	9.431828	19.96155	
28.59669	33.0603	37.12764	38.60744	33.07879	17.99515	-9.52028	-54.6275	-103.673	-141.547	-159.385	-154.254	-121.613	-70.1383	-20.1699	-6.01441	-9.1512	-1.06645	
28.42151	30.19723	29.61477	27.08506	25.01111	17.23476	-19.4334	-31.201	-74.1208	-117.533	-144.104	-150.459	-105.273	-16.3906	-27.9218	-82.6673	-48.1716	-12.9182	
22.09874	21.82911	20.9835	20.50215	23.66352	19.8729	-4.05801	-26.852	-56.2201	-98.8038	-130.914	-12.13	-59.7289	49.40335	-39.3625	-156.66	-87.122	-28.2784	
9.73048	7.947123	6.520964	6.732004	9.688458	12.55185	-4.54206	-32.593	-48.9446	-87.4387	-130.348	-113.525	-46.9782	10.70915	-58.6171	-136.117	-92.6397	-39.0805	
-8.55584	-12.9524	-17.5451	-22.1338	-26.9261	-29.3291	-23.5288	-17.9356	-14.7	-69.4885	-140.329	-144.285	-103.225	-72.7868	-79.2551	-90.5406	-77.2465	-41.1985	
-30.931	-38.9487	-48.7326	-61.2995	-78.0295	-100.616	-76.0669	-6.83947	22.8842	-48.5533	-157.494	-198.965	-177.753	-149.622	-127.081	-107.907	-87.425	-48.5938	
-52.6339	-63.2671	-76.5649	-93.9519	-118.109	-155.247	-123.742	11.0466	77.07251	-28.0375	-169.281	-222.886	-210.897	-173.82	-142.389	-137.37	-32.22863	-75.36	
-67.4667	-77.3886	-88.8224	-102.276	-118.37	-138.542	-96.945	70.57544	141.9059	8.10087	-156.083	-201.949	-171.542	-98.0647	-61.4888	-78.7174	-100.608	-87.7123	
-70.9021	-76.577	-80.9002	-82.497	-78.6722	-61.5819	-7.59388	120.7079	156.9259	14.18308	-122.684	-112.048	-34.8523	1.819513	-10.0406	-50.333	-72.5574		
-61.4693	-62.1762	-59.197	-50.0056	-30.6703	3.805051	50.57713	110.1239	111.3327	13.1987	-90.0409	-120.31	-84.2189	-29.547	7.064512	11.82201	-13.6842	-42.8841	

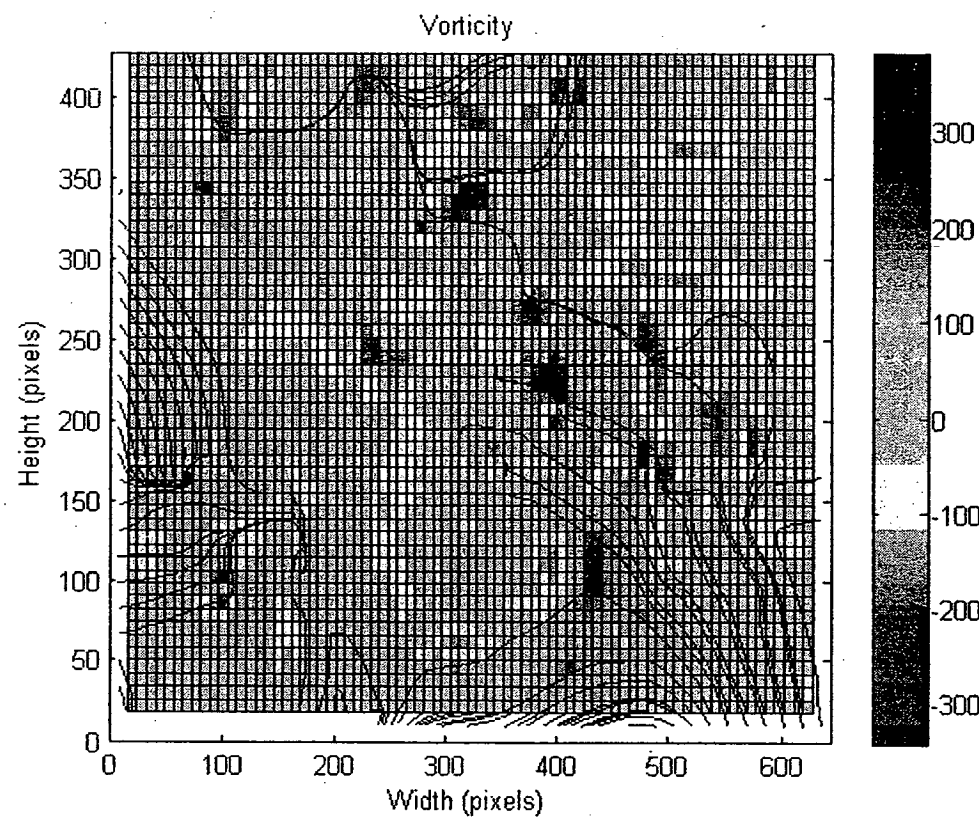
รูปที่ 4.1 บริมาณการเคลื่อนที่ที่ได้จากการคำนวณ

1. ทิศทางและขนาดของการเคลื่อนที่ของอนุภาคดังแสดงในรูปที่ 4.2 ทิศทางการเคลื่อนที่และขนาดถูกเขียนลงทับบนรูปเพื่อแสดงทิศทางการเคลื่อนที่ของตะกอน(สีขาว) โดยรูปตะกอนถูกถ่ายโดยวิธีการถ่ายแสงโดยตรงแล้วได้มีการเปลี่ยนสีเพื่อเพิ่มความเด่นชัดของตะกอนในภาพ เพื่อความสะดวกในการคำนวณหากการเคลื่อนที่
- 4.2 ทิศทางการเคลื่อนที่และขนาดถูกเขียนลงทับบนรูปเพื่อแสดงทิศทางการเคลื่อนที่ของตะกอน(สีขาว) โดยรูปตะกอนถูกถ่ายโดยวิธีการถ่ายแสงโดยตรงแล้วได้มีการเปลี่ยนสีเพื่อเพิ่มความเด่นชัดของตะกอนในภาพ เพื่อความสะดวกในการคำนวณหากการเคลื่อนที่



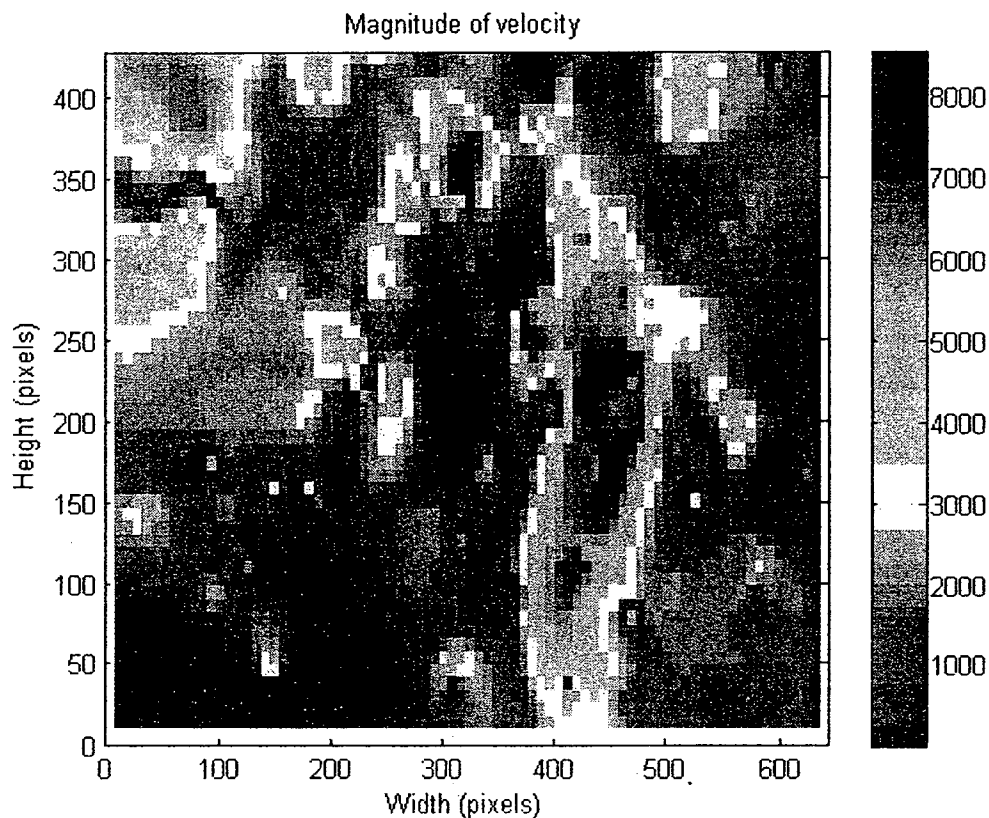
รูปที่ 4.2 ภาพทิศทางการเคลื่อนที่ของตาก่อนแสดงในรูปของเวกเตอร์

2. การหมุนแปรปรวน (Vorticity) สามารถใช้ในการพิจารณาปริมาณการเคลื่อนที่แบบหมุนของตาก่อนในภาพเพื่อปรับแก้ความเร็วเฉลี่ยทั้งหมดได้แสดงในรูปที่ 4.3



รูปที่ 4.3 ปริมาณการหมุนแปรปรวน (Vorticity)

3. ความเร็ว (Magnitude of Velocity) แสดงในรูปที่ 4.4

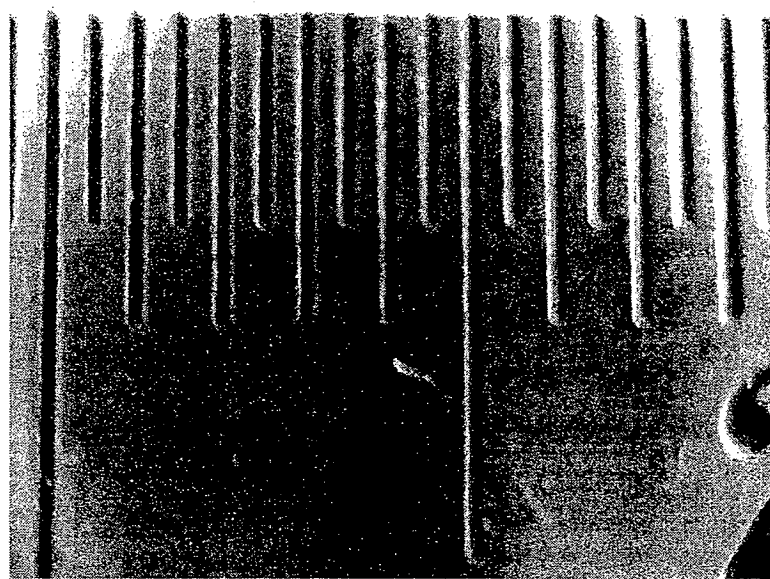


รูปที่ 4.4 ปริมาณความเร็ว (Magnitude of Velocity)

เนื่องจากขนาดพื้นที่ที่ใช้เซ็นเซอร์รับได้มีขนาดเล็กมากซึ่งประมาณ 1 ซม. ขึ้นอยู่กับระยะห่างระหว่างเซ็นเซอร์กับตัวก้อน ดังแสดงในภาพที่ 4.5 ซึ่งจะแบ่งเป็น แนวราบ 320จุด และแนวตั้ง 240จุด ซึ่งเท่ากับการขยายขนาดโดยการอินเทลโลเพรเดลล์จะได้ข้อมูลในขนาด 640จุดและแนวตั้ง 480จุด และทำการปรับเฉลี่ยและปริมาณแสง เพื่อเพิ่มความชัดเจนของภาพจะสามารถแสดงข้อมูลได้ชัดเจนกว่าเมื่อทำการคำนวณหาการเคลื่อนที่ด้วยโปรแกรม

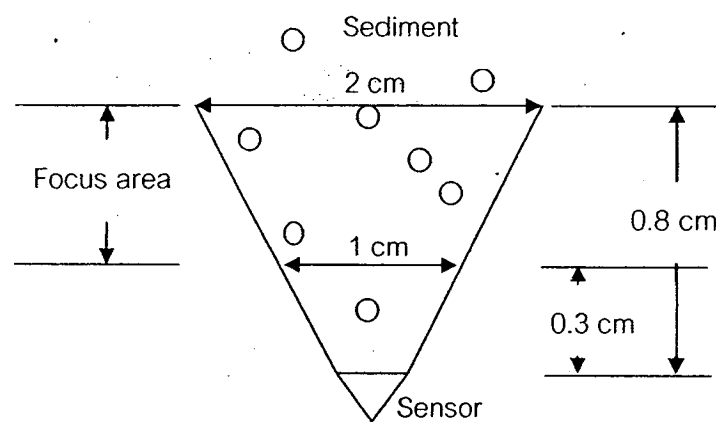
ซึ่งจากการแบ่งขนาดภาพที่รับได้ออกเป็น 640ส่วนในแนวราบ หรือเท่ากับประมาณ 1/640 ซม.ต่อหนึ่งจุด และ 480ส่วนในแนวตั้ง หรือเท่ากับประมาณ 1/480 ซม.ต่อหนึ่งจุด ค่าที่ได้จึงมีความละเอียดสูง เมื่อเปรียบเทียบกับขนาดของตัวอย่างที่เก็บมาจากการคลองชลประทาน

ตัวก้อนตัวอย่างที่เก็บมาจากการคลองชลประทานมีขนาดตั้งแต่ประมาณ 5 พิกเซล จนถึง 45 พิกเซล ซึ่งเท่ากับ 0.008 - 0.07 ซม.



รูปที่ 4.5 ภาพที่ได้จากการถ่ายสเกล 1 ซม.

จากการเปรียบเทียบผลการคำนวณการเคลื่อนที่ของตะกอนจากภาพ ได้ทำการเปรียบเทียบค่าที่ได้จากการคำนวณโดยโปรแกรมกับค่าที่ได้จากการประมาณวัดการเคลื่อนที่โดยการแบ่งตารางและนับปริมาณการเคลื่อนที่จริงพบว่า เซ็นเซอร์ที่ใช้มีจุดที่ภาพมีความคงซัดในพื้นที่ไฟกัสมีความกว้างทำให้ค่าการเคลื่อนที่ในแกนราบมีการแปรปรวนสูงดังแสดงในรูปที่ 4.6 แสดงให้เห็นว่าความกว้างของพื้นที่ที่อยู่ในไฟกัสมีอยู่ในระหว่าง 1 – 2 ซม. ซึ่งไม่สามารถแบ่งแยกตะกอนได้ว่าอยู่ในระยะใดทำให้ไม่สามารถระบุระยะที่แท้จริงได้การประมาณค่าที่ได้จึงมีความคลาดเคลื่อนสูง ซึ่งเมื่อนำมาเปรียบเทียบกับค่าการเคลื่อนที่ที่คำนวณได้จากโปรแกรมจะมาค่าใกล้เคียงดังแสดงในตารางที่ 4.1



รูปที่ 4.6 แสดงระยะการคำนวณของเซ็นเซอร์

ตารางที่ 4.1 การเปรียบเทียบค่าเฉลี่ยปริมาณความเร็วการเคลื่อนที่ระหว่างโปรแกรมและวัดจริง

การทดสอบ	Tank 1	Tank 2	Tank 3	Flume 1	Flume 2	Flume 3
โปรแกรม cm/s	0.112	0.547	0.721	3.158	10.170	11.814
วัดจริง cm/s	0.07-0.2	0.34-0.7	0.39-0.94	2.44-5.25	8.54-14.5	8.7-17.8

5. สรุปผลการวิจัยและเสนอแนะ

จากการทดสอบประสิทธิภาพของโปรแกรม ในการตรวจวัดความเร็วการไหลของน้ำโดยวิธีการวัดเคลื่อนที่ของอนุภาคในน้ำ โดยใช้แสงเลเซอร์เป็นแหล่งกำเนิดแสง) ทดลองภายในห้องปฏิบัติการชลศาสตร์ภาควิชาวิศวกรรมชลประทาน ได้ผลการเคลื่อนที่ของอนุภาคที่สามารถใช้เป็นตัวแทนของการเคลื่อนที่ของกระแสน้ำได้ การเคลื่อนที่ของตะกอนในน้ำมีความแปรปรวนของทิศทางและความเร็วเนื่องจากขนาด

การเปรียบเทียบค่าที่ได้จากการคำนวณโดยโปรแกรมกับค่าที่ได้จากการประมาณวัดการเคลื่อนที่โดยการแบ่งตารางและนับปริมาณการเคลื่อนที่จริงพบว่า เช่นเชอร์ที่ใช้มีจุดที่ภาพมีความคงเดิมพื้นที่ไฟกัสมีความกว้างทำให้ค่าการเคลื่อนที่ในแนกรามมีการแปรปรวนสูงดังแสดงในรูปที่ 4.6 แสดงให้เห็นว่าความกว้างของพื้นที่ที่อยู่ในไฟกัสมีอยู่ในระหว่าง 1 – 2 ซม. ซึ่งไม่สามารถแบ่งแยกตะกอนได้ว่าอยู่ในระยะใดทำให้ไม่สามารถระบุระยะที่แท้จริงได้การประมาณค่าที่ได้จะมีความคลาดเคลื่อนสูง ซึ่งปัญหาที่พบคือเช็นเชอร์มีระยะไฟกัสมากว่าต้องใช้การประมาณค่าในการหาค่าเฉลี่ยความเร็วการเคลื่อนที่ของตะกอน ซึ่งเช็นเชอร์ที่มีประสิทธิภาพสูงกว่าจะมีรายละเอียดมากจึงไม่สามารถนำมาทดลองได้

อีกปัญหาที่พบคือความไวแสงของเช็นเชอร์ที่ใช้มีความไวแสงมีเพียงพอ กับความเร็วของน้ำในคลองชลประทานคือ ประมาณ 80-200 ซม/วินาที ถึงแม้ว่าจะเพิ่มจำนวนแหล่งกำเนิดแสงแล้วก็ตาม ซึ่งถ้าเปลี่ยนเช็นเชอร์ให้มีความไวแสงมากขึ้นและมีความเร็วภาพมากขึ้นถึงระดับ 200-600 ภาพ/วินาทีจะสามารถใช้วัดความเร็วในช่วงดังกล่าวได้

ระดับน้ำที่ลึกขึ้นจะมีผลต่อการวัดความเร็ว เพราะตะกอนที่ขนาดใหญ่ขึ้นเมื่อระดับน้ำลึกมากๆหรือที่เรียกตะกอนห้องน้ำจะมีขนาดใหญ่มากกว่าตะกอนที่ผิวน้ำจะทำให้ค่าที่ได้จากการคำนวณไม่เท่ากัน เพราะตะกอนห้องน้ำใช้การกระโดดในการเคลื่อนที่ไปตามกระแสน้ำจะมีความเร็วเฉลี่ยของการเคลื่อนที่น้อยกว่าตะกอนแขวงลอยที่ลอยไปตามน้ำทำให้ความเร็วที่วัดได้มีค่าแตกต่างกับออกไป

จากการวัดความเร็ว ค่าความเร็วที่ได้ระหว่างโปรแกรมและวัดจริงมีค่าอยู่ในช่วงเดียวกัน มีความแปรปรวนมากขึ้นเมื่อความเร็วของการไหลเพิ่มมากขึ้น การวัดในหางน้ำมีการกระจายตัวของความเร็วมากกว่าเนื่องมาจากมีความเร็วของการไหลมากกว่าการวัดความเร็วในถังน้ำ